

Materials Science in Electronics devices

- Semiconductor devices -

2016 Yutaka Oyama

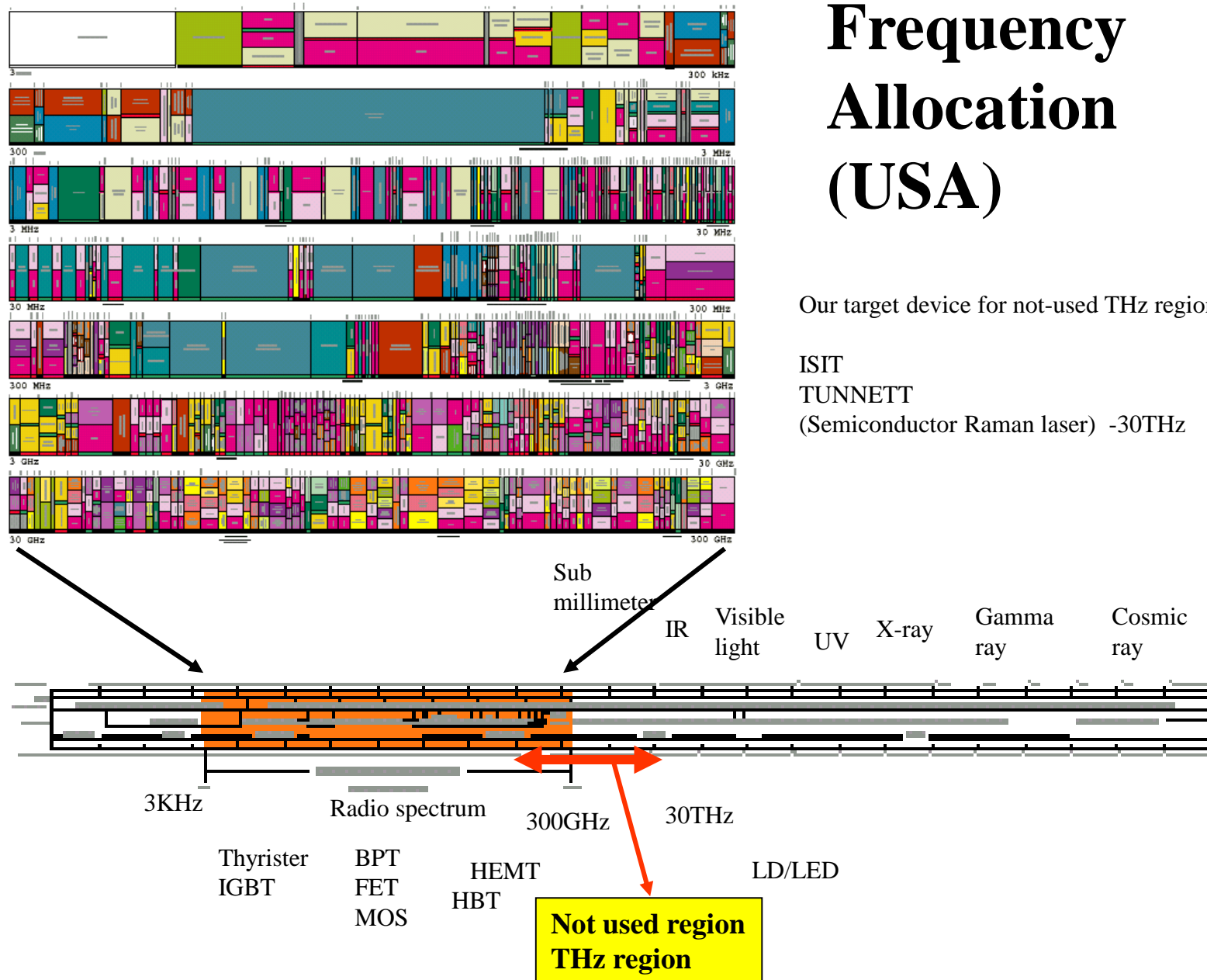
oyama@material.tohoku.ac.jp

http://www.material.tohoku.ac.jp/~denko/lab.html

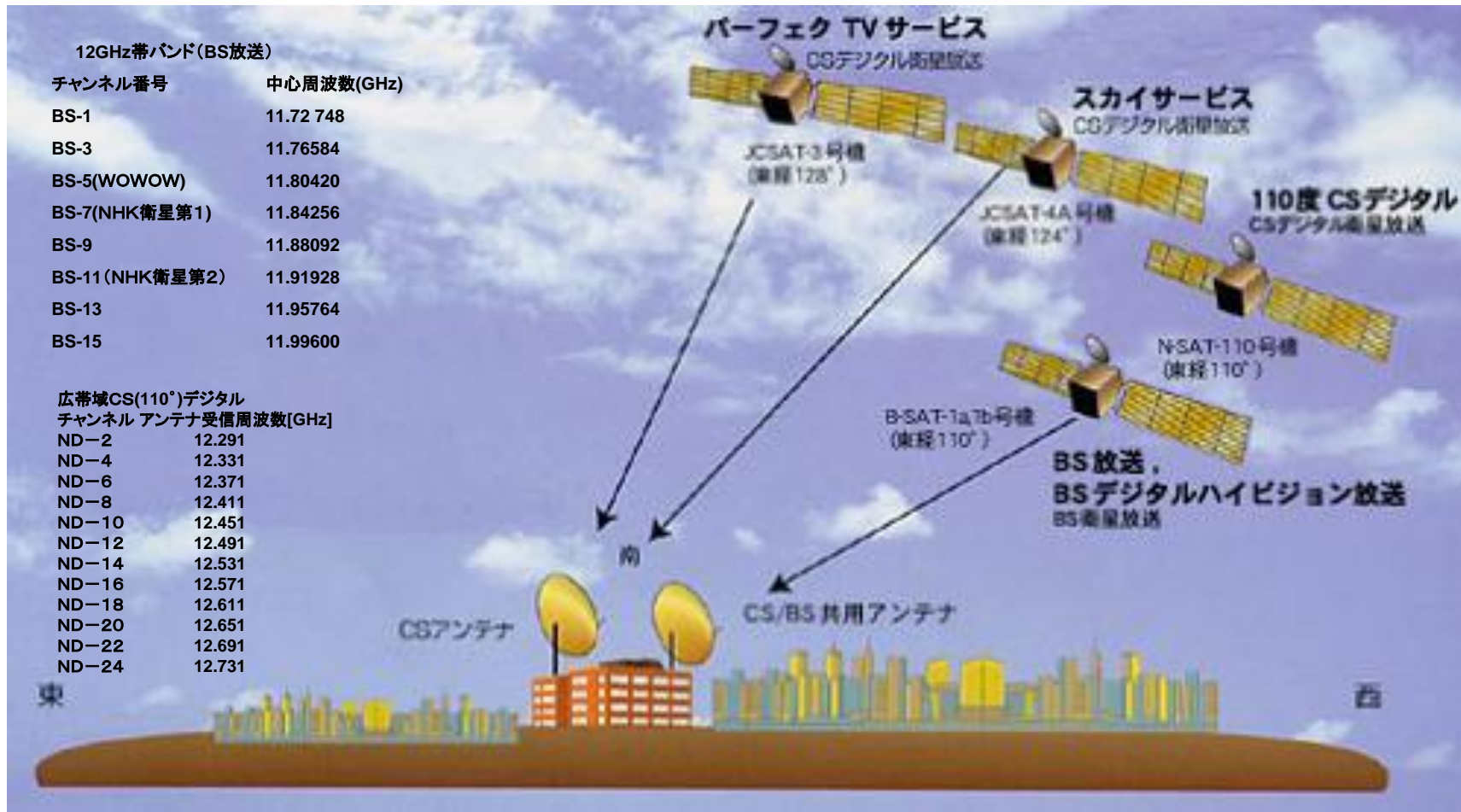
Contents

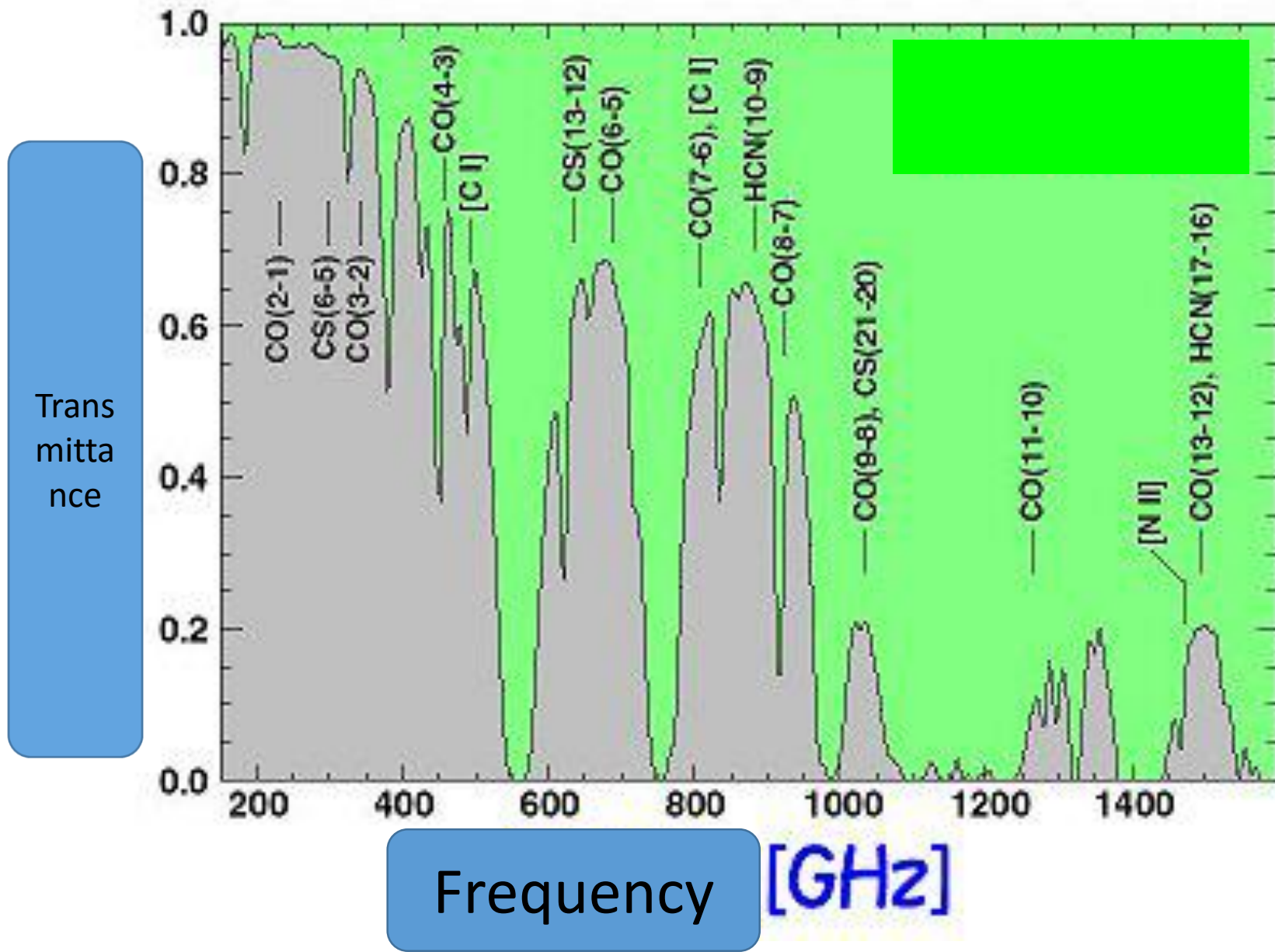
- Material issue of semiconductor devices and fabrication process
- Schematics of thin film growth (Molecular Layer Epitaxy, etc.)
- Ultra fast and high frequency semiconductor electronic and photonic devices -1
- Ultra fast and high frequency semiconductor electronic and photonic devices -2
- Crystal growth and semiconductor device epitaxy
- Device grade evaluation of semiconductor crystals

Frequency Allocation (USA)

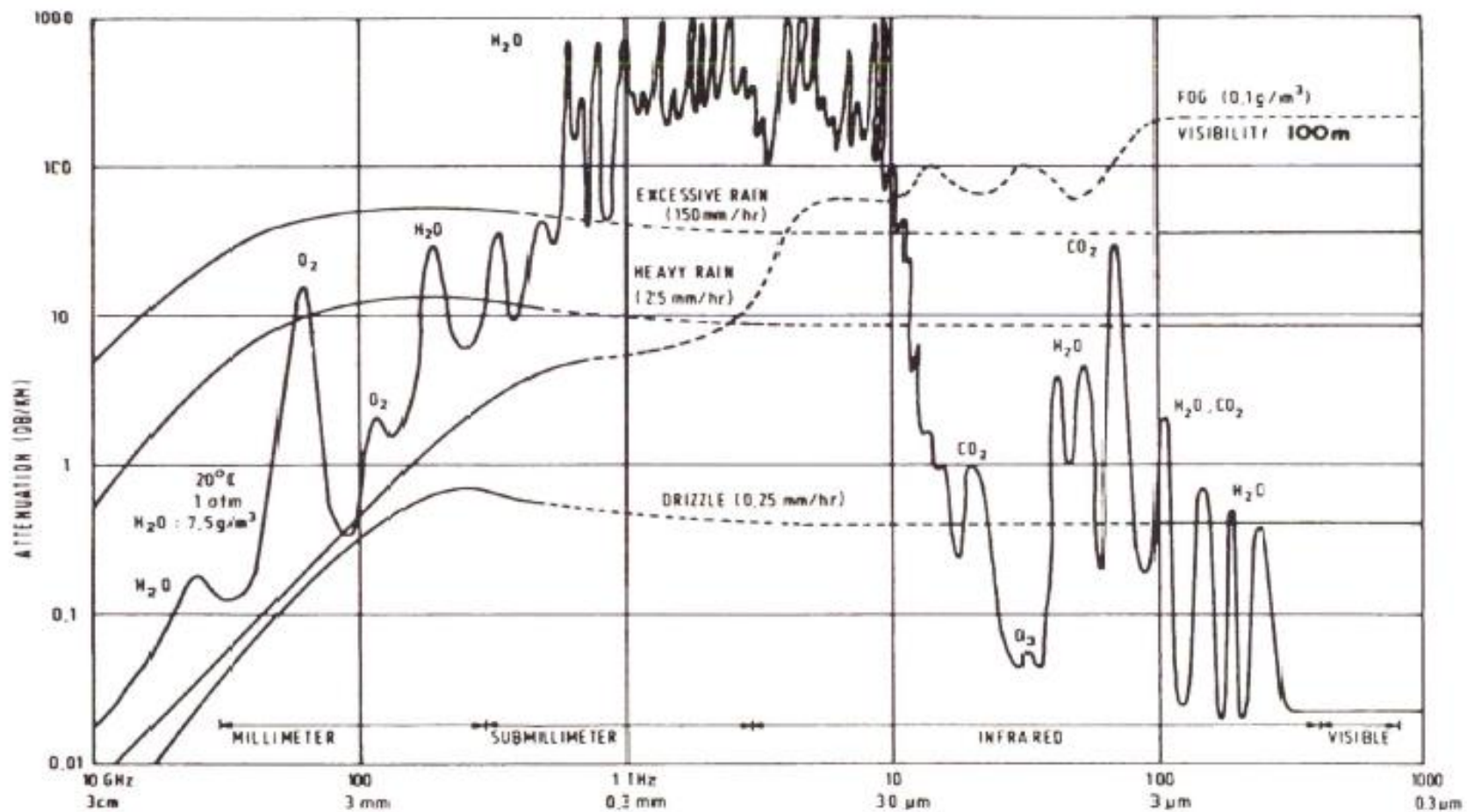


BS,CS bands from satellite to the earth





Detailed attenuation characteristics in Air



pin diode



Rectification · demodulation
(alternate curr. AC → direct curr. DC)

Storage of minority carrier limits RF operation

Majority carrier in p-type: hole
minority carrier: electron
Majority carrier in n-type: electron
minority carrier: hole



Carrier recombination in *i*-layer



Fast operation

Insertion of high purity *i*-layer



High breakdown voltage

Photo detector application



Fast light detection

高抵抗
高純度*i*層

Lateral pin photo detector application

APL 1998, J. N. Haralson II, J. W. Parks, Jr., and K. F. Brennan

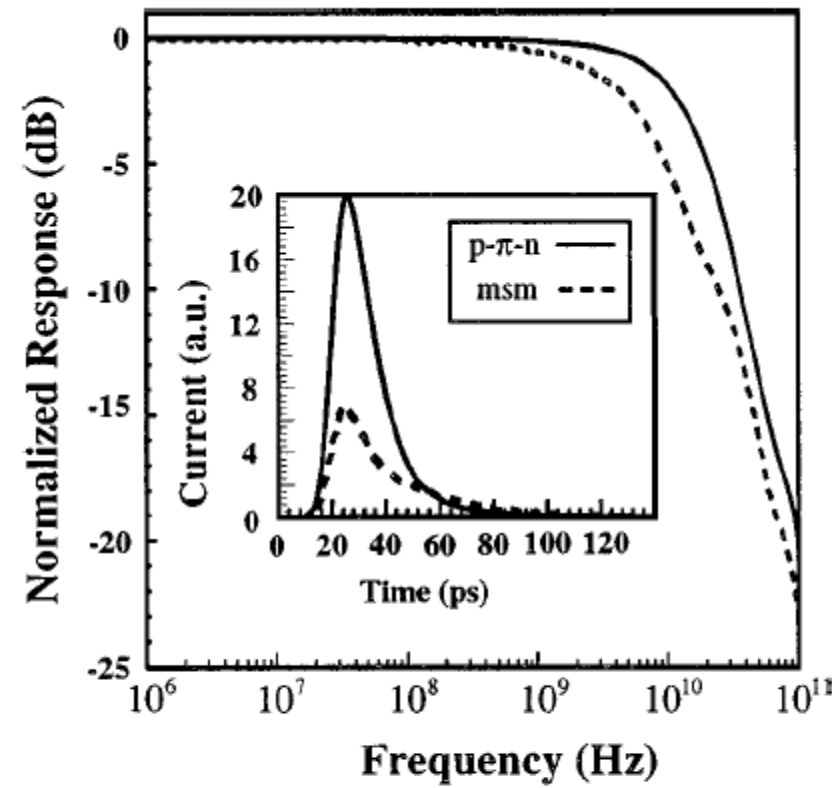
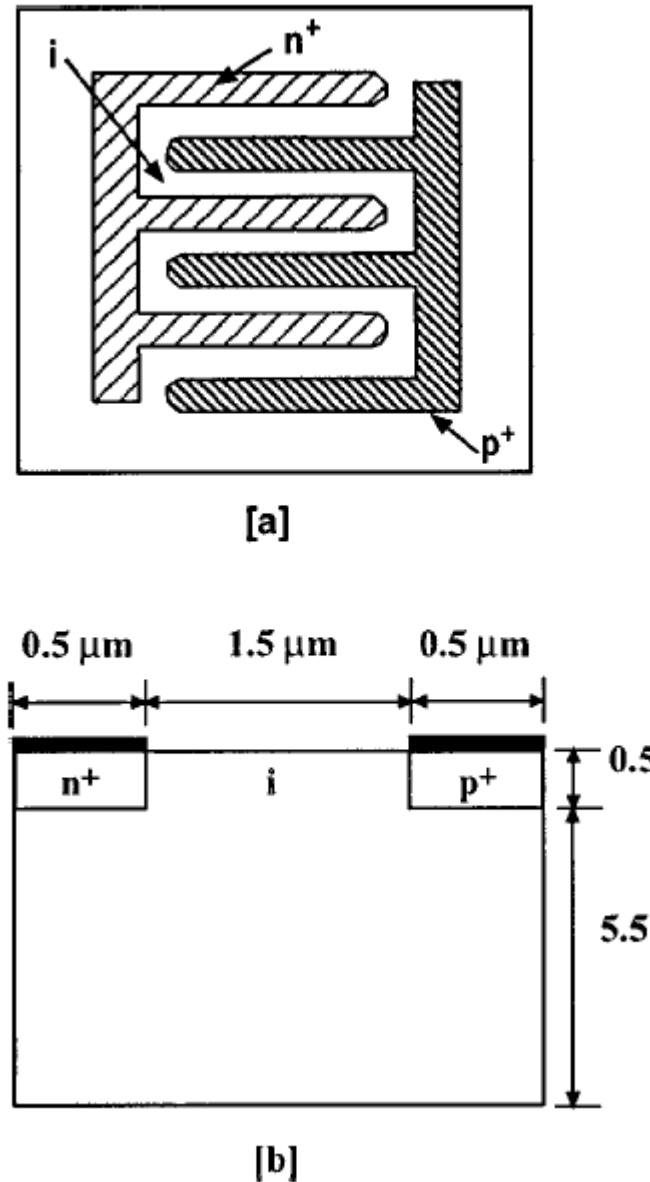
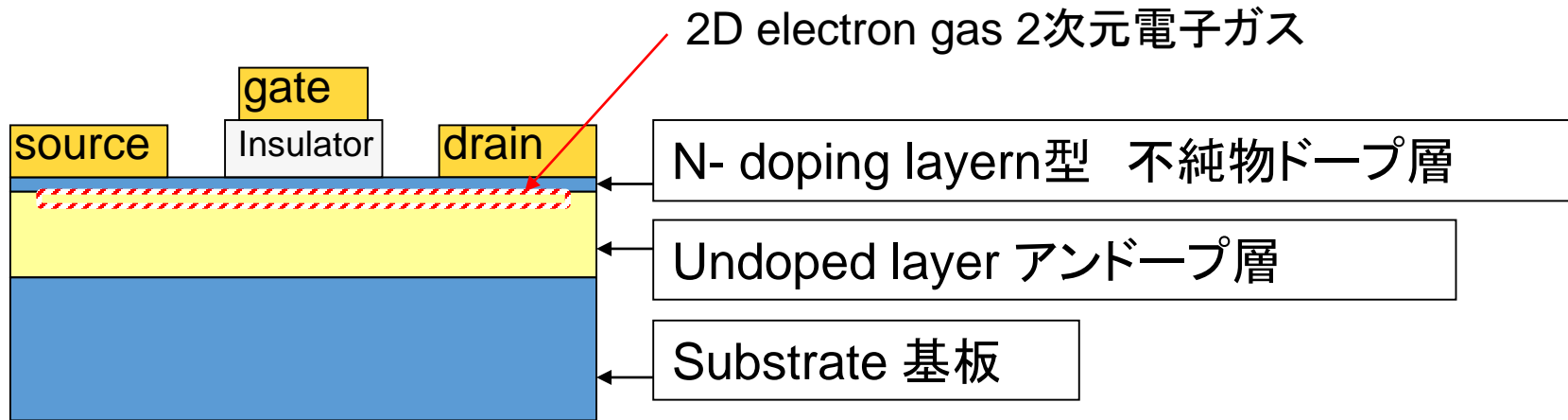


FIG. 2. Calculated frequency response in dB for the p - π - n LPIN and MSM photodetectors shown in Fig. 1. The inset shows the temporal response of the photodetectors showing the higher responsivities of the p - π - n structure compared to the MSM device.

HEMT(High Electron Mobility Transistor)

高電子移動度& 高キャリア濃度→高相互コンダクタンス g_m 高周波動作



Mechanism for high conductance
Carrier supply & carrier transport
⇒
Achievement of high carrier concentration & High carrier mobility

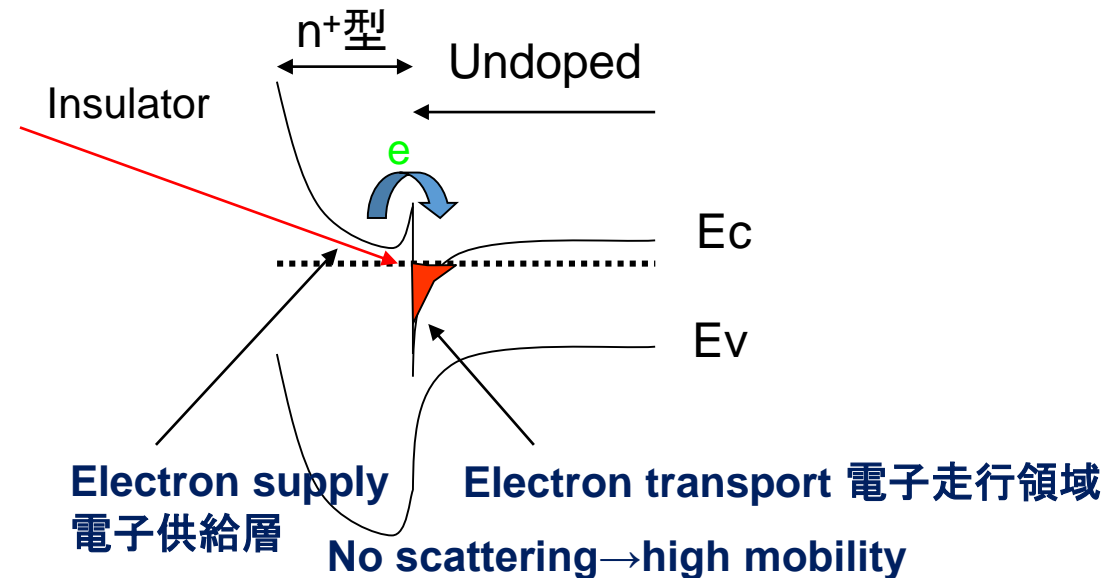
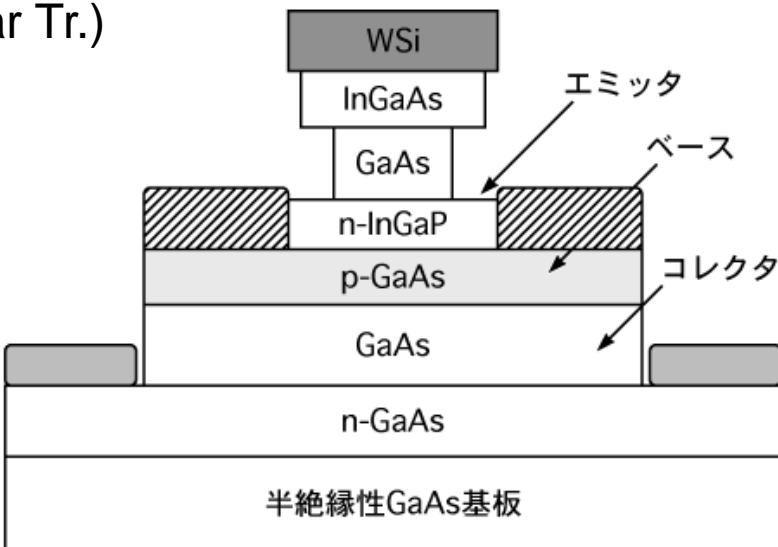


図-1 HBTの断面構造図

HBT(Hetero Bipolar Tr.)

Mobile phone base
RF high power
携帯・セルラーフォン
基地局用…

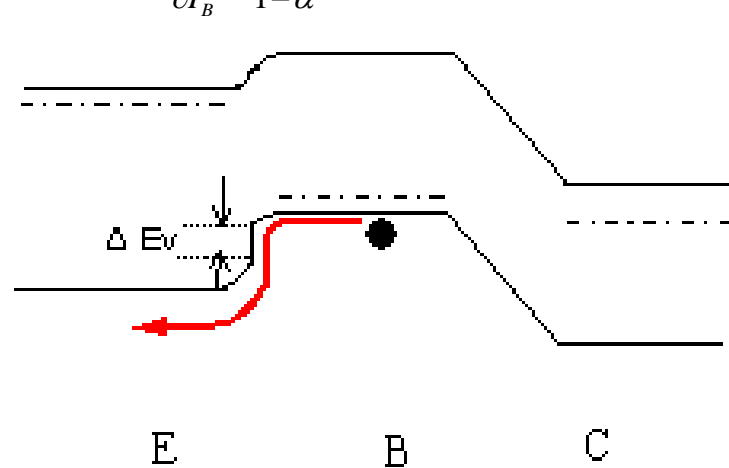
$$\beta = \frac{\partial I_C}{\partial I_B} = \frac{\alpha}{1-\alpha}$$



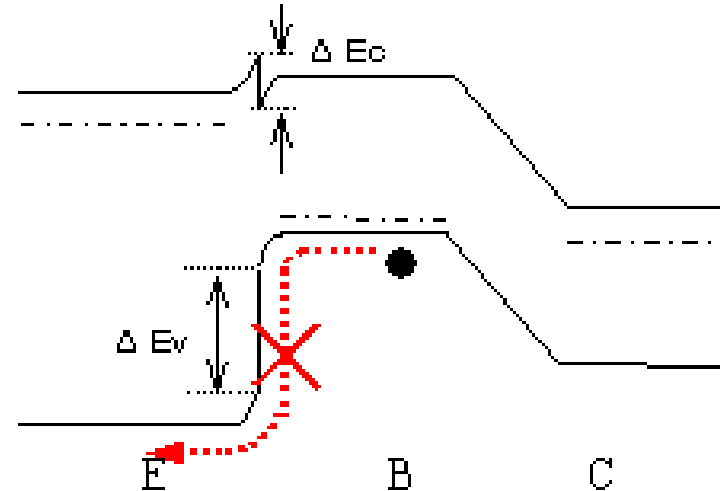
エミッター接地回路の電流利得 β は、ベース電流に対するコレクタ電流の比ですから、

$$\beta = \frac{\partial I_C}{\partial I_B} = \frac{\alpha}{1-\alpha}$$

ベース領域内で生じる再結合電流がエミッター領域に流れ込むことが電流増幅率 β を下げる原因となりますから、ベース領域で発生する再結合電流が流れ込まないように、ベースとエミッターの間にポテンシャルバリア(障壁)を作る構造



Conventional bipolar Tr.

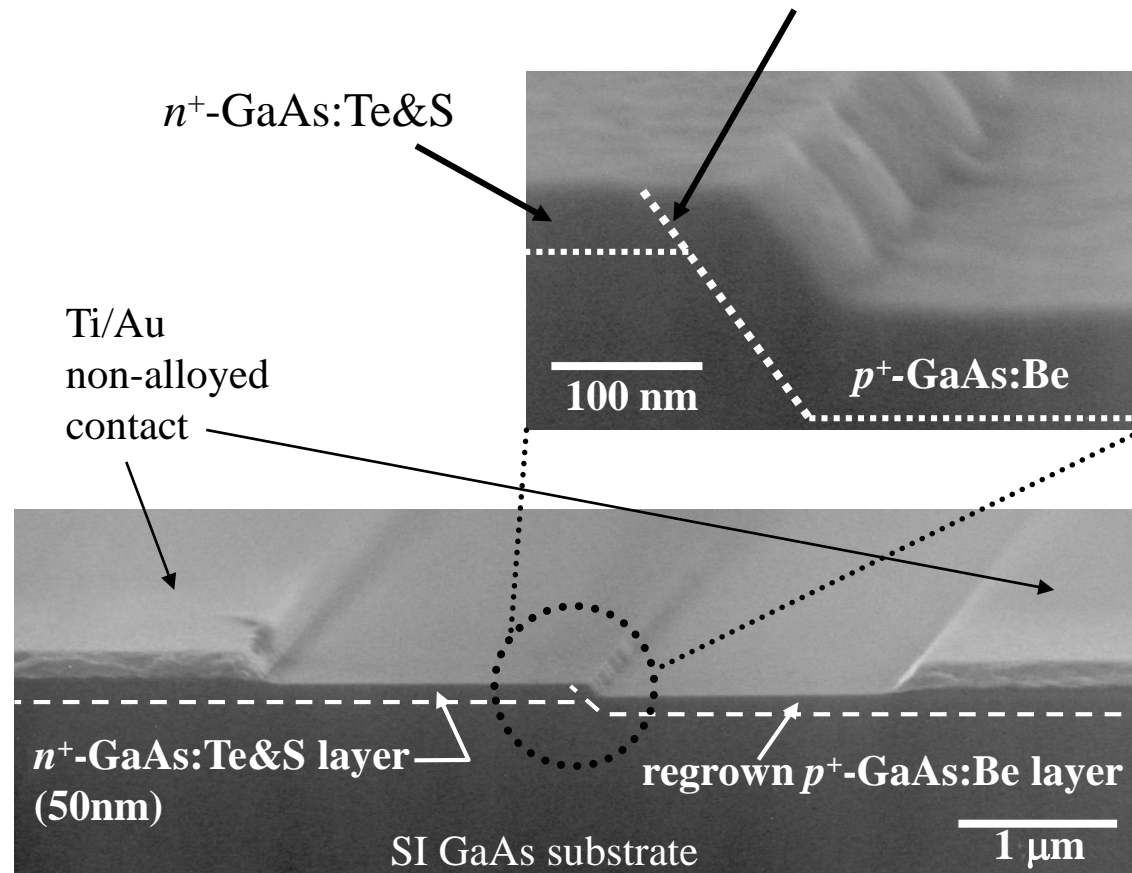


Hetero bipolar Tr.

高性能 p^+n^+ トンネルダイオード

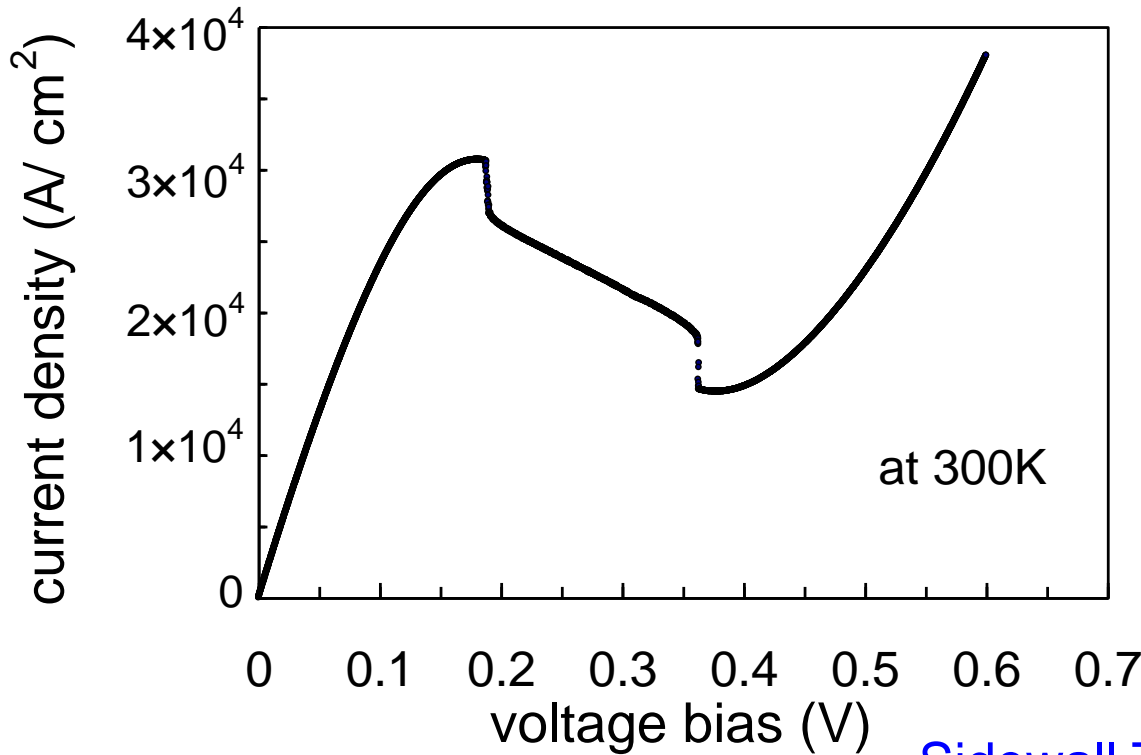
High performance
Regrown p^+n^+ tunnel junction

sidewall
tunnel junction



高性能 p^+n^+ ダイオード

High performance
Regrown p^+n^+ tunnel junction

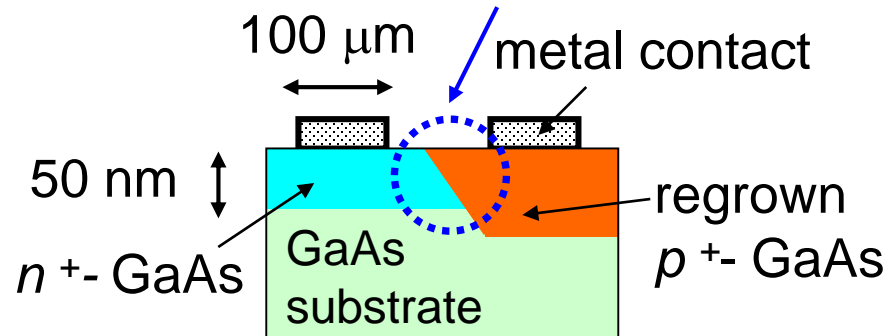


peak current density (J_p)
MAX. 31000 A/ cm²
peak-to-valley current ratio
2.1

previous 1800 A/ cm²
RECORD J_p
17 times higher

reference:
Y. Oyama et al.,
Appl. Phys. Lett., **81**(14),
(2002), pp. 2563-2565.

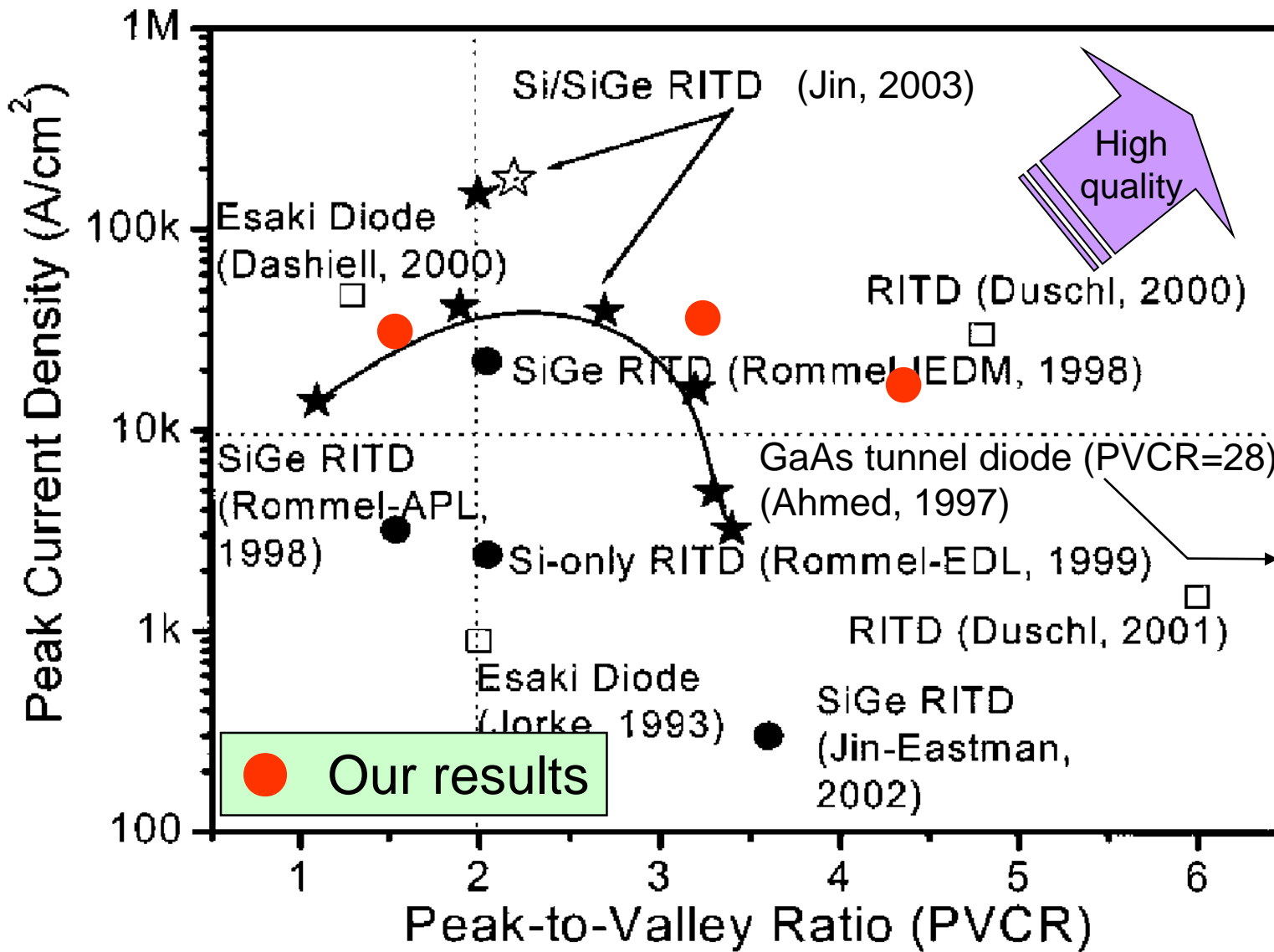
Sidewall Tunnel Junction



GaAs:Te&S
360°C成長
 $n^+ = 1.5 \times 10^{19} \text{ cm}^{-3}$

GaAs:Be
290°C再成長
 $p^+ = 8 \times 10^{19} \text{ cm}^{-3}$

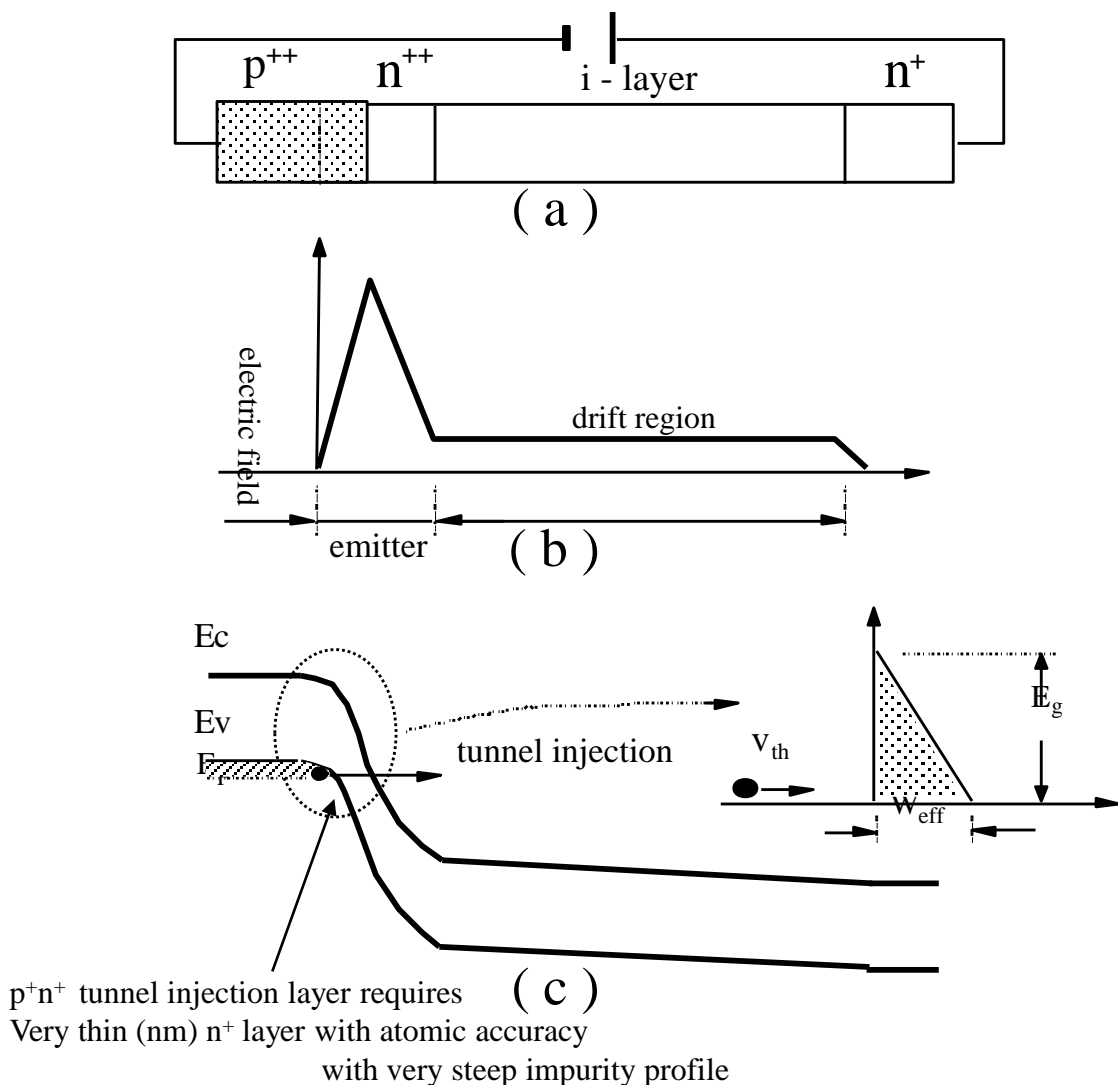
高性能 p^+n^+ ダイオード



PRINCIPLE OF TUNNETT DIODE

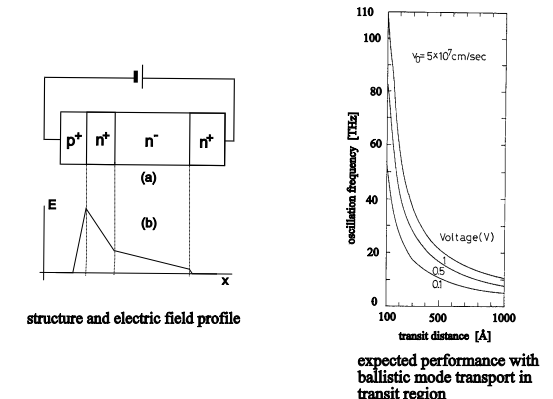
TUNNETT:tunnel injection transit time effect diode

For THz oscillation solid source (invented by **J.Nishizawa Tohoku Univ.**)



*Tunnel injection under reverse bias
low operating voltage
low noise*

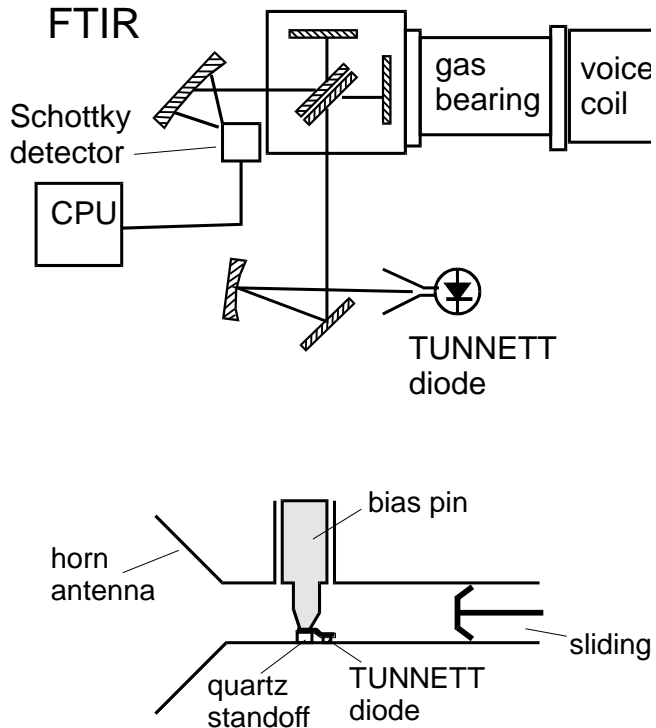
TUNNETT - transit time diode with tunnel type injection of electrons



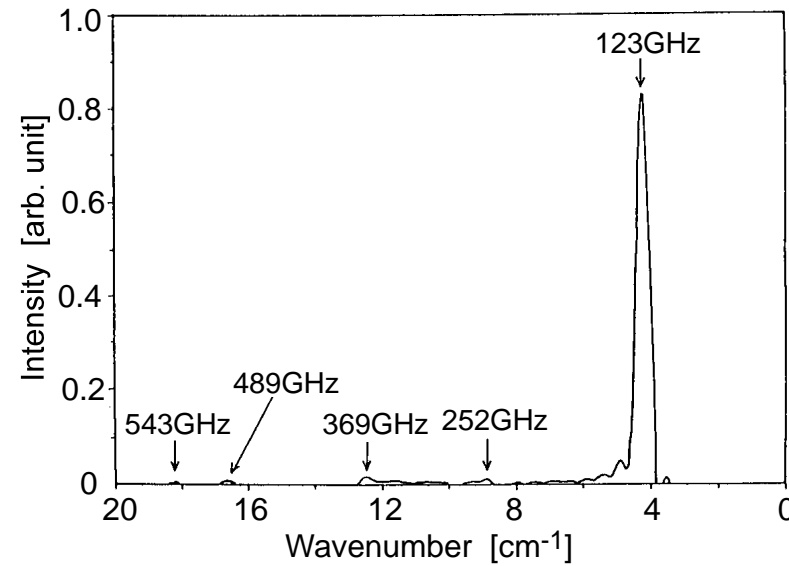
●Performance in brief

✧TUNNETT

TUNNETT oscillation measured with FTIR



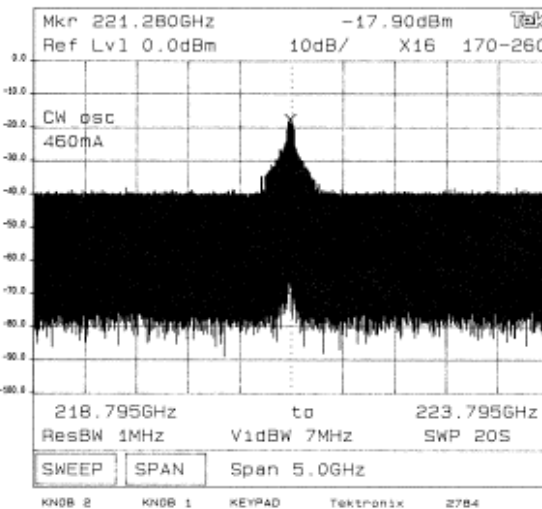
TUNNETT oscillator in a waveguide cavity coupled to a horn antenna



oscillation spectra

●Performance in brief

✧TUNNETT

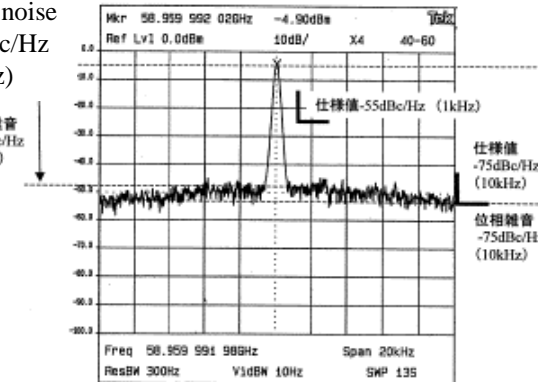


date	9/12/15
sample No.	1/2015a
series No.	#55
diode area	2.7x10 ⁻⁴ cm ²
band	H-B
cavity type	H-B
bias pin	g10
series type	Tunnett
hexcode	W / N
spacers	N/A
back short	G / GND
correlation mode	Pulse / CW
duty	1%
current	4.60 mA
V	7.953 V
voltage	7.953 V
note	
ver	1.4

Tunnett oscillation sheet

221 GHz, MLE wafer, H-band cavity

Phase noise
-70dBc/Hz
(1KHz)



Phase noise
-73dBc/Hz
(100KHz)

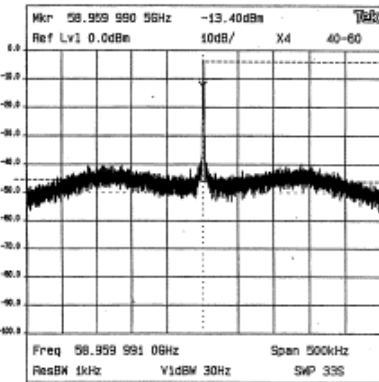
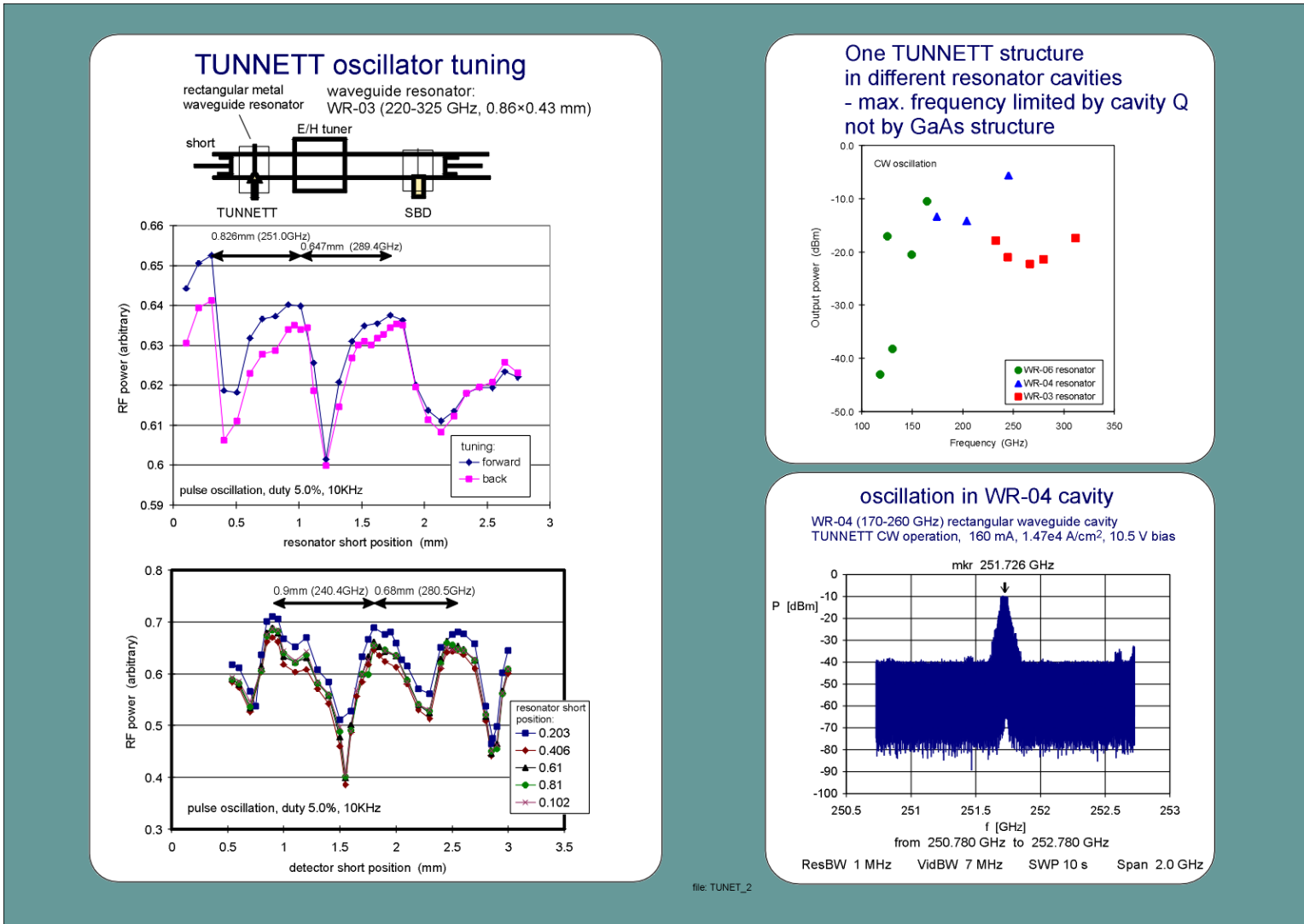
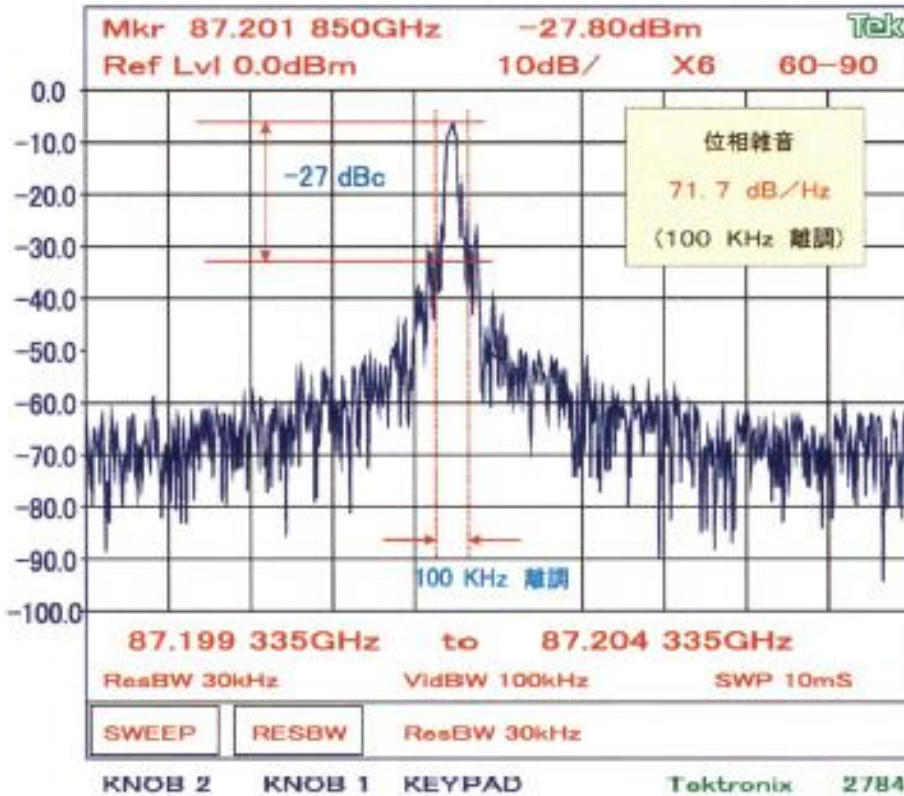
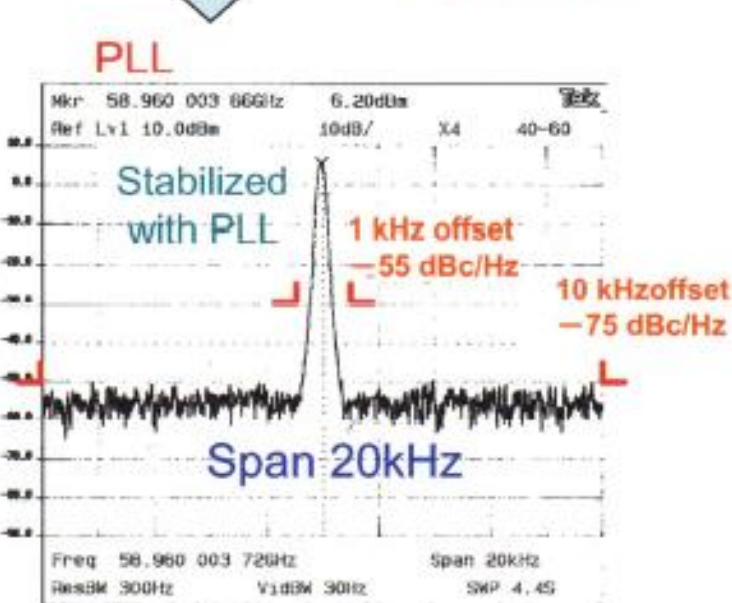
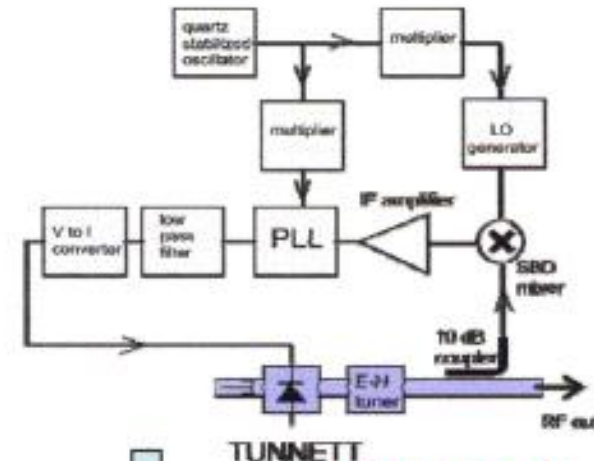


図2 58.96GHz 発振器位相雑音特性

60GHz TUNNETT phase noise characteristics
with PLL phase-rock
V-band cavity



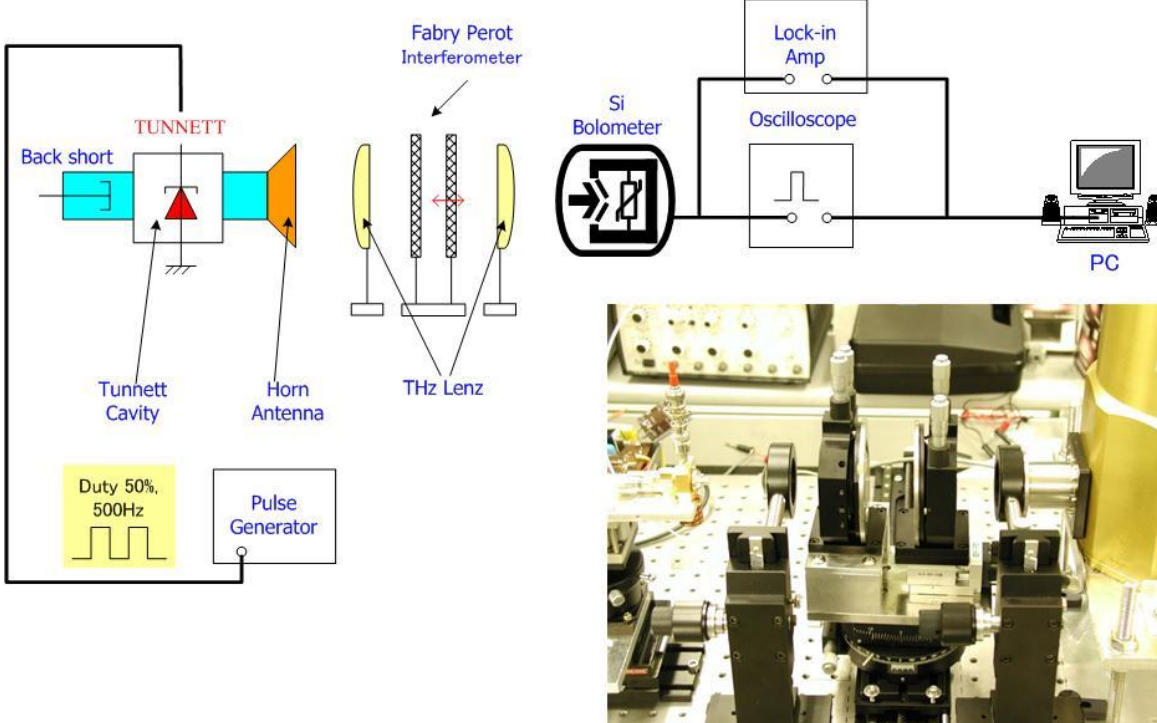
TUNNETT Oscillator (with and without PLL)



フリーランニングにおける低い位相雑音

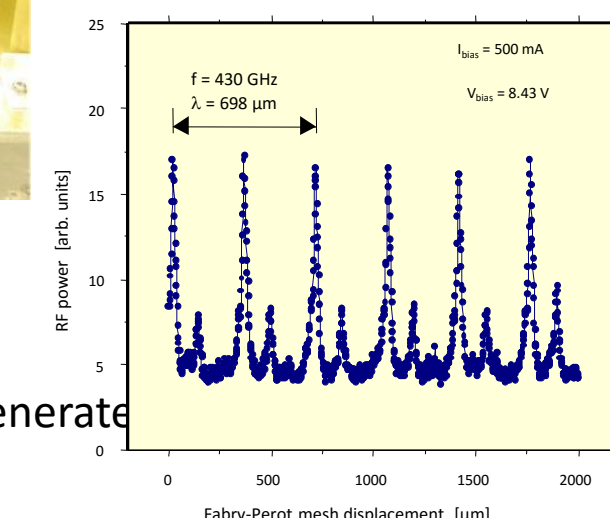
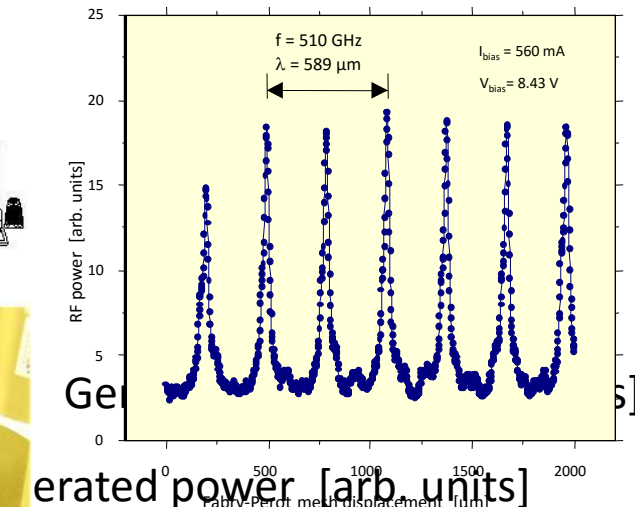
$$\begin{aligned}
 & 27 \text{ dB} + 10 \log \text{ResBW} \\
 & = 27 + 10 \log 30000 \\
 & = 71.7 \text{ (dB)}
 \end{aligned}$$

タンネットダイオードの発振スペクトル例(ファブリペロー測定系)



430 - 510 GHz CW, fundamental mode

WR-1.5 cavity (0.381×0.191 mm)



タンネット発振周波数測定システム
(ファブリペロー干渉計システム)

Application of sub-THz osc devices for imaging

タンネット発振器の周波数選択

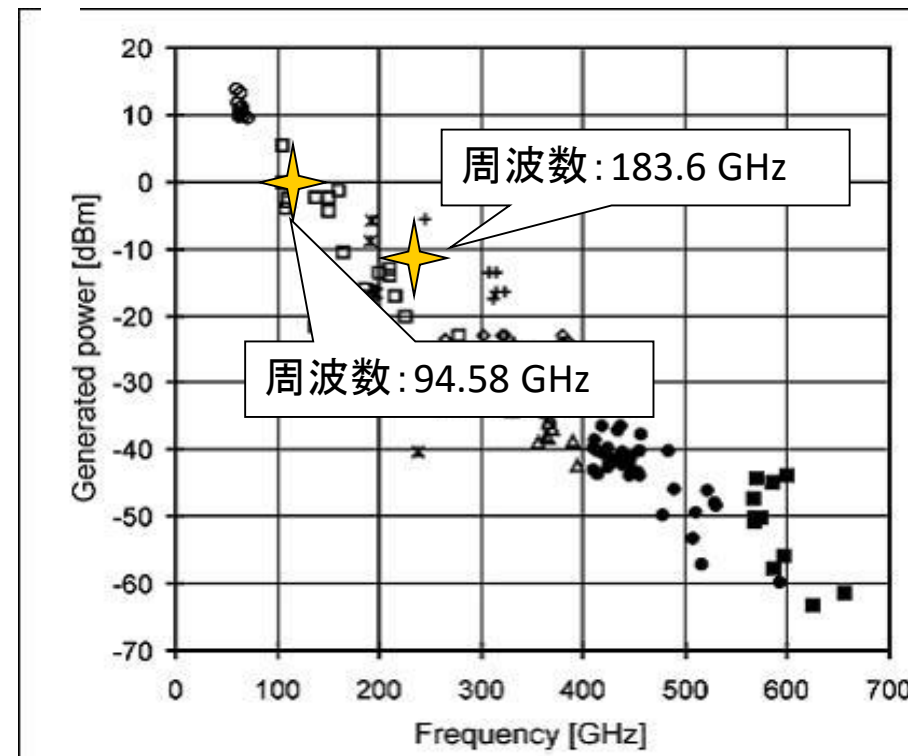


図1 タンネット発振出力の周波数依存性[1]

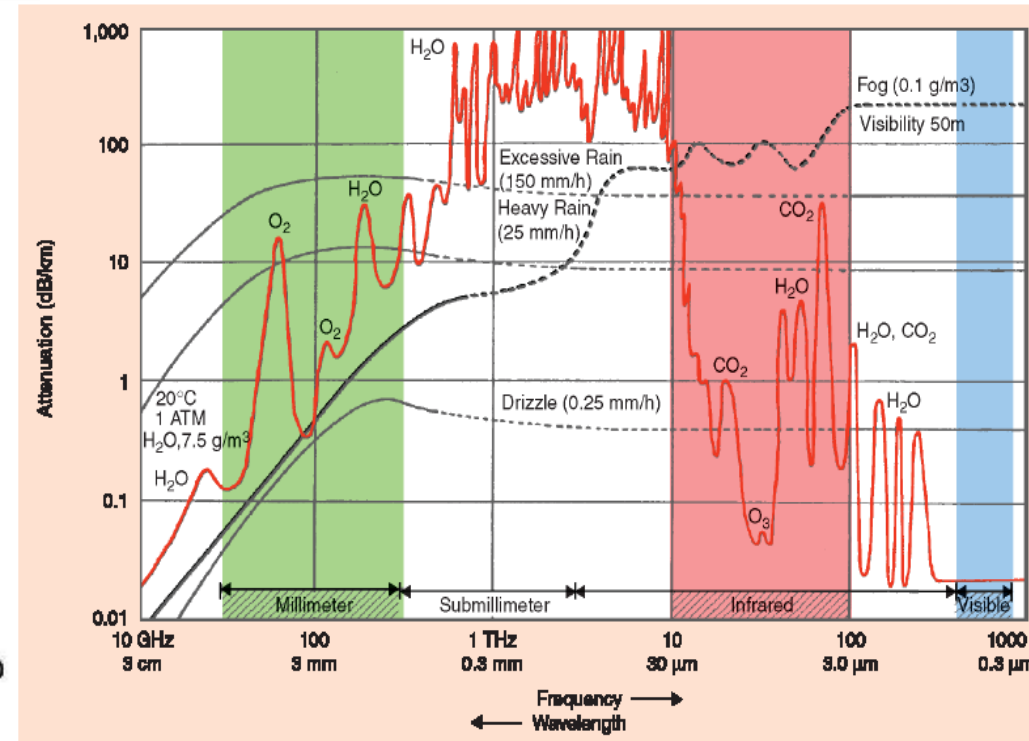


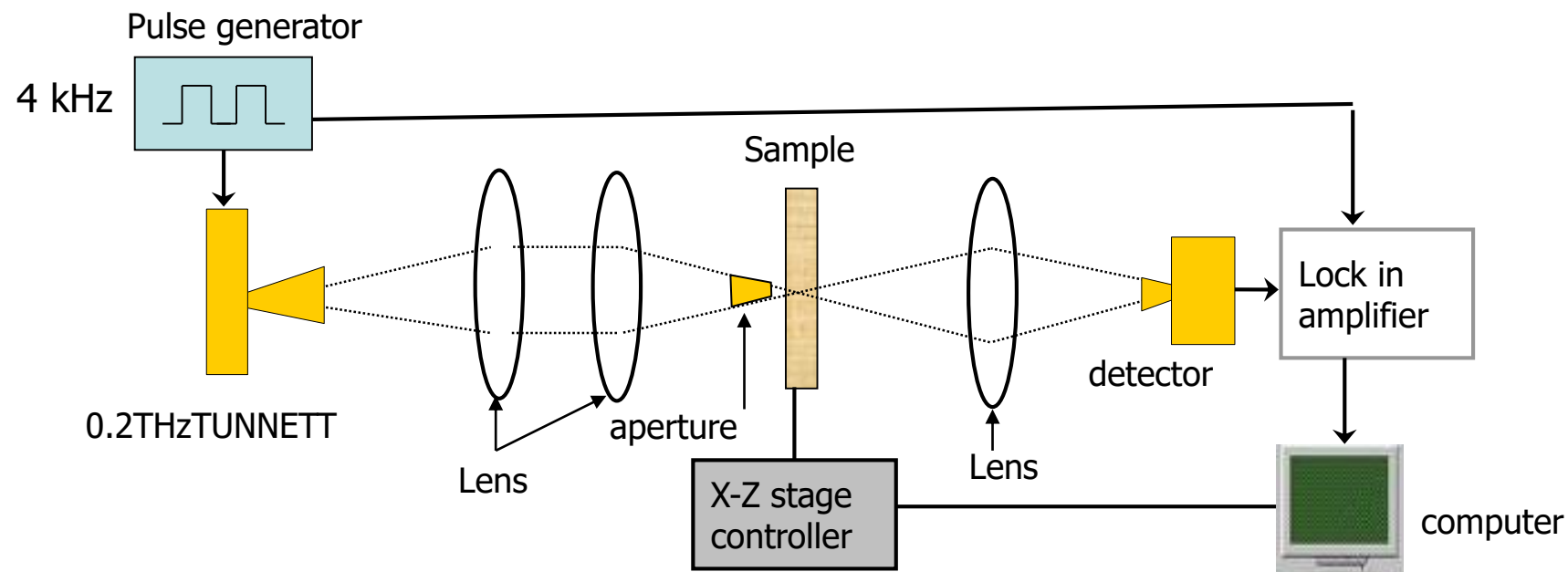
図2 大気および水による電磁波の減衰[2]

Ref. [1] J. Nishizawa, P. Plotka, H. Makabe, and T. Kurabayashi, "GaAs TUNNETT Diodes Oscillating at 430-655 GHz in CW Fundamental Mode", IEEE microwave and wireless components letters, Vol. 15, No. 9, pp. 597-599, Sep. 2005.

[2] Federal Communications Commission Office of Engineering and Technology New Technology Development Division, Millimeter Wave Propagation: Spectrum Management Implications, No. 70, July, 1997

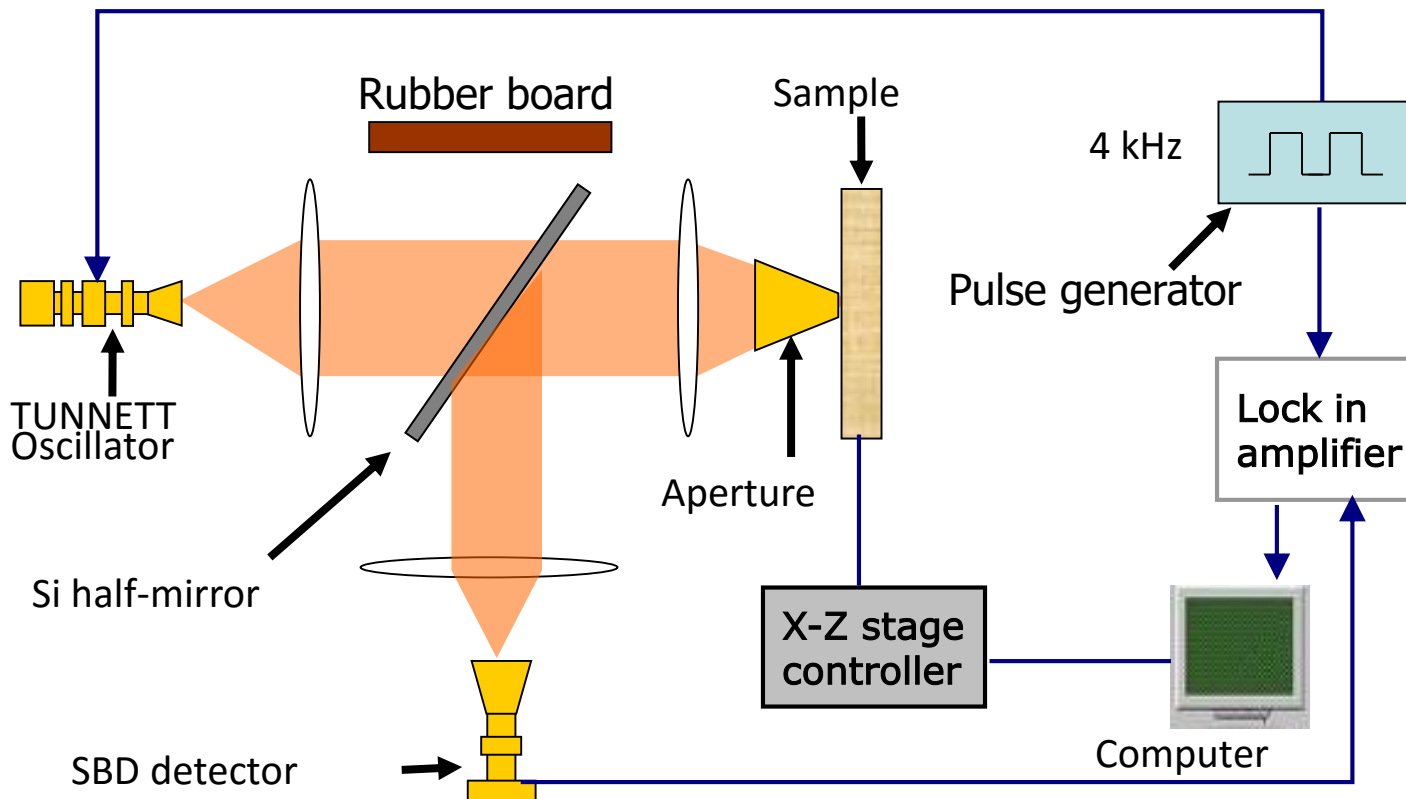
サブテラヘルツイメージング測定装置

- ・透過イメージング装置

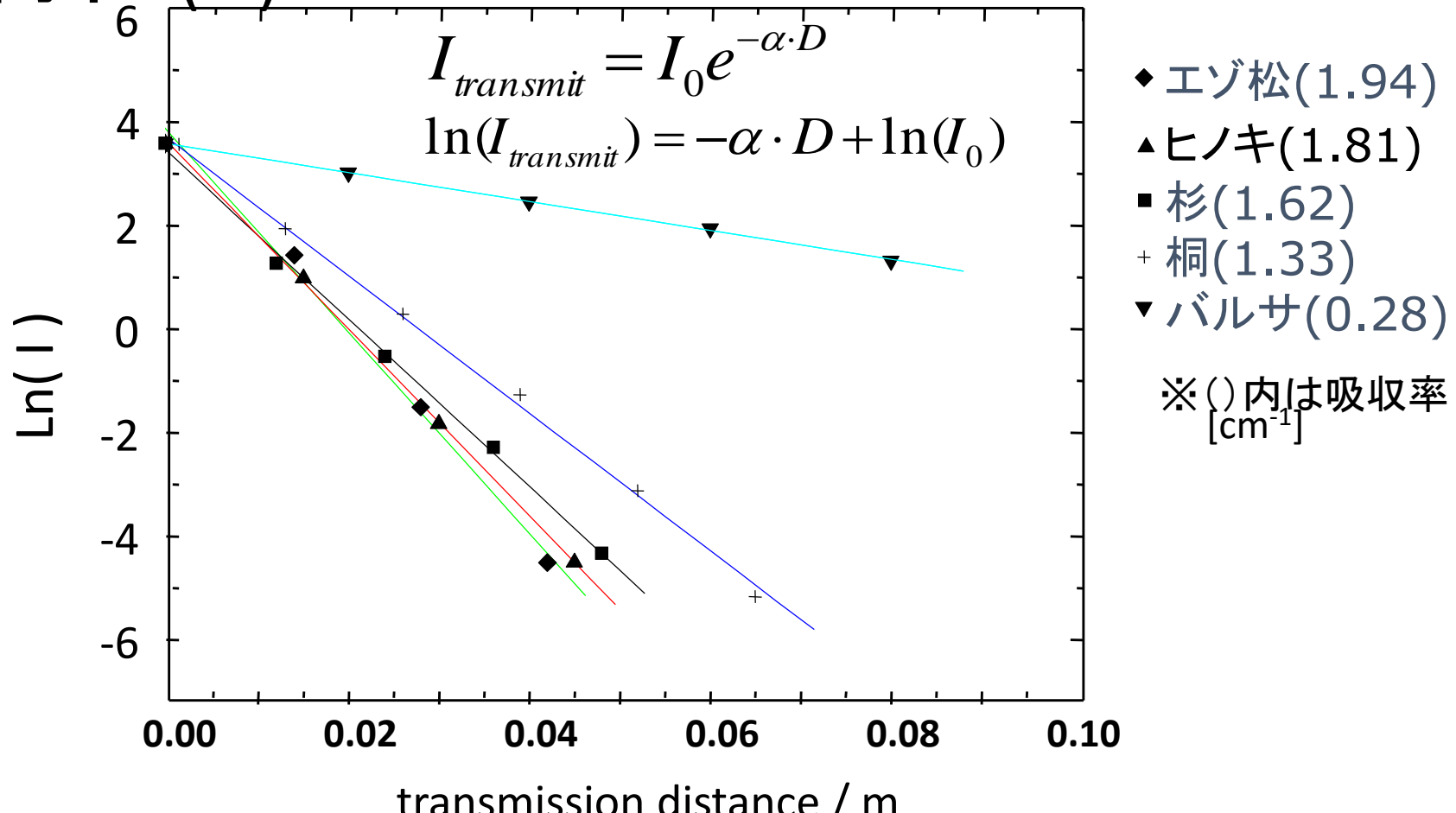


サブテラヘルツイメージング測定装置

- 反射イメージング装置

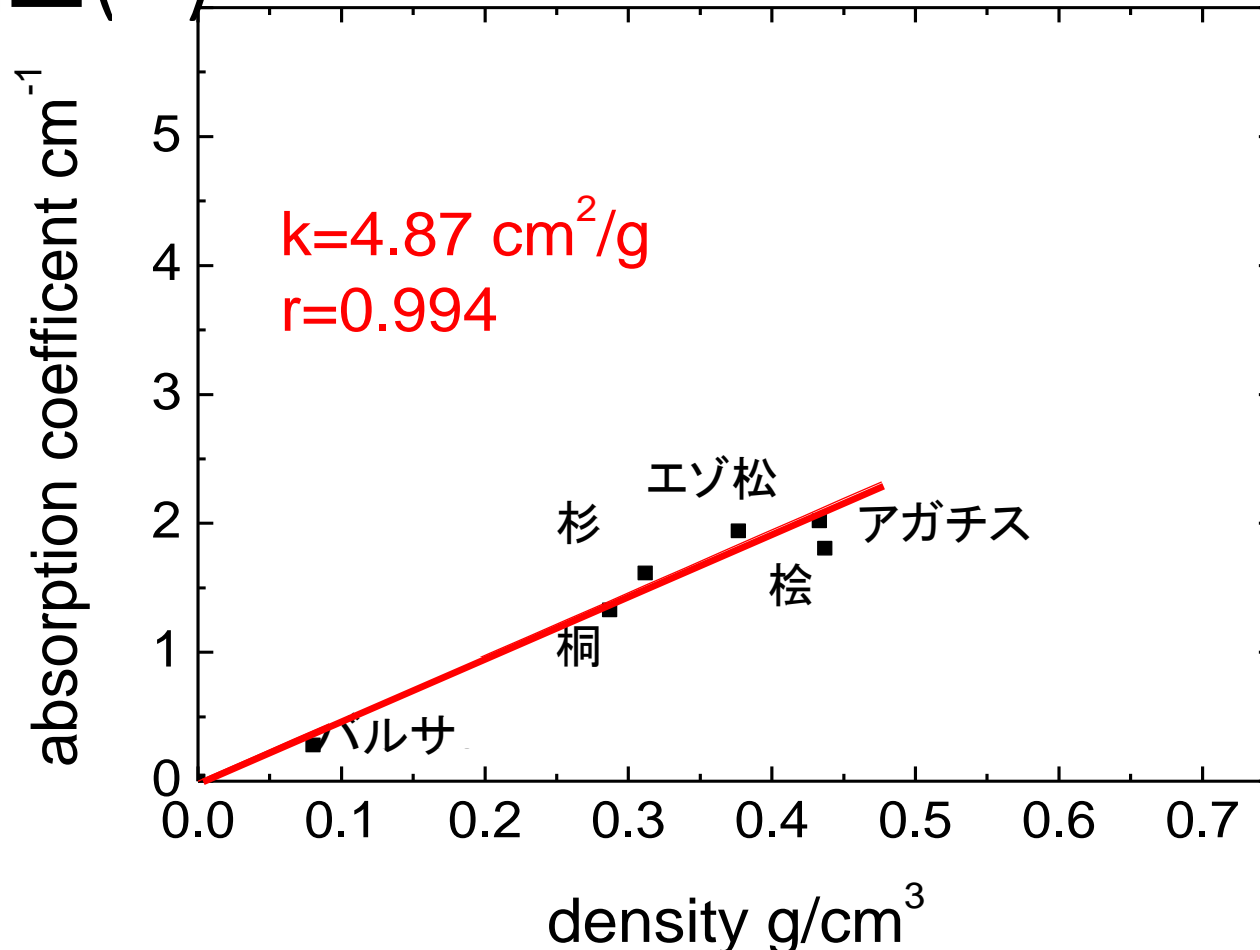


透過特性(1)



→ 強度と透過距離は指数関係

透過特性(?)



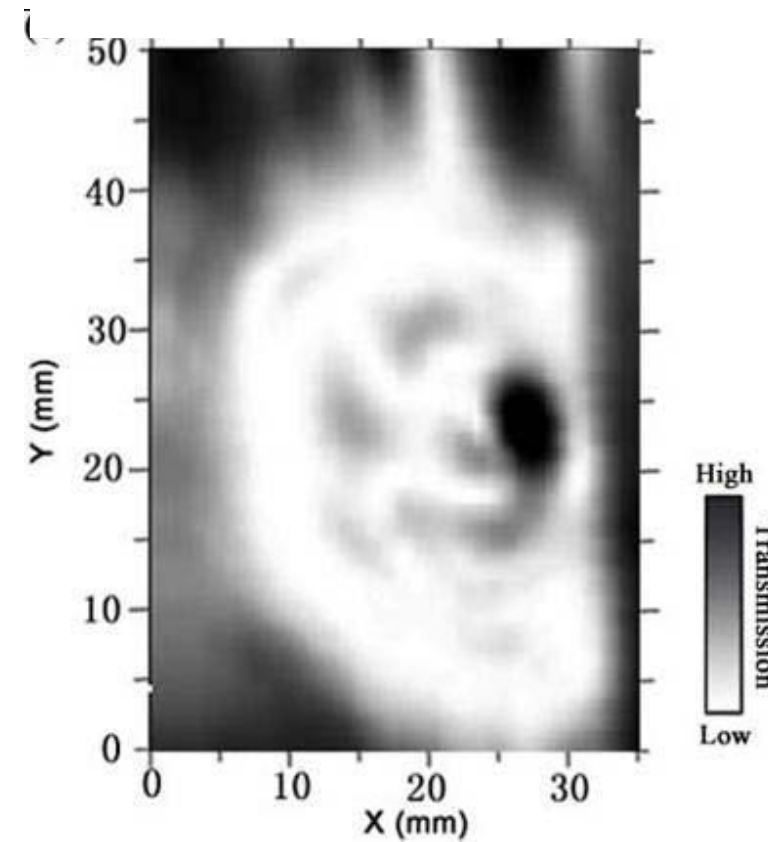
→ 吸収係数と密度は比例関係

不均質構造の透過測定

- 節のイメージング

試料: 杉
厚さ: 20 mm

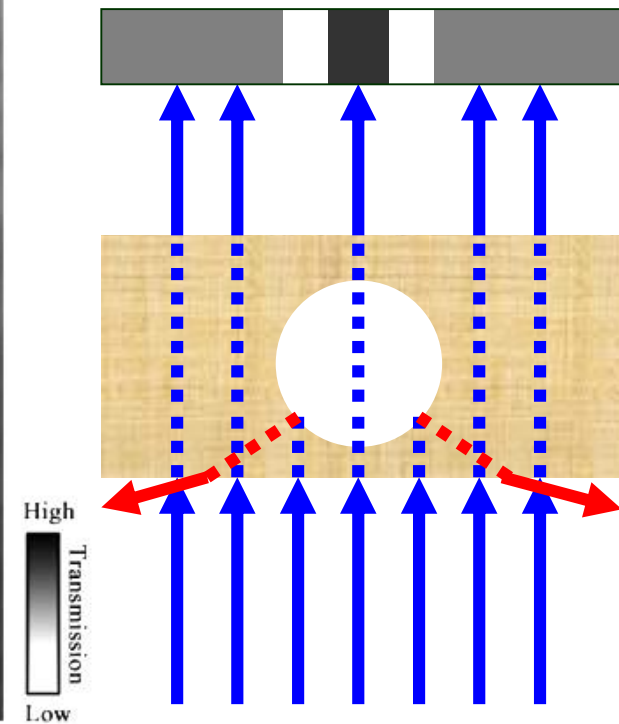
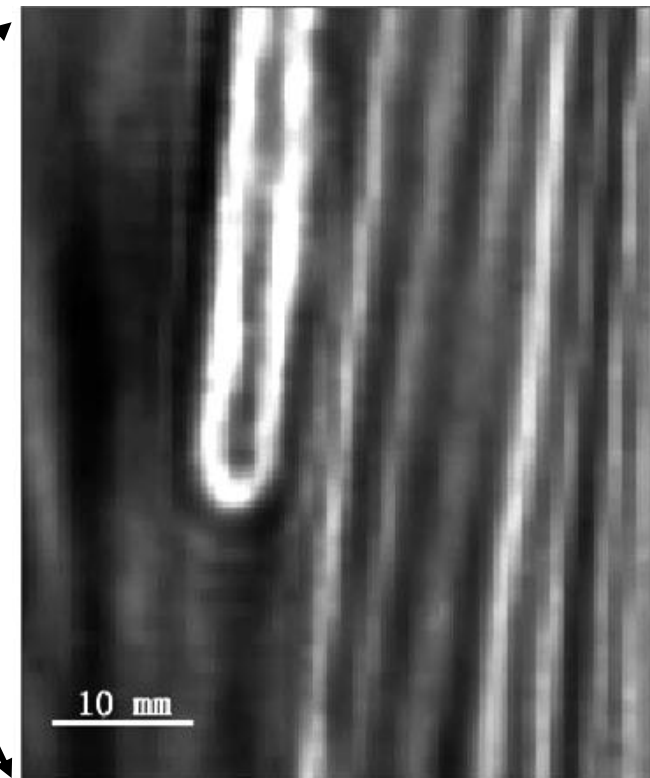
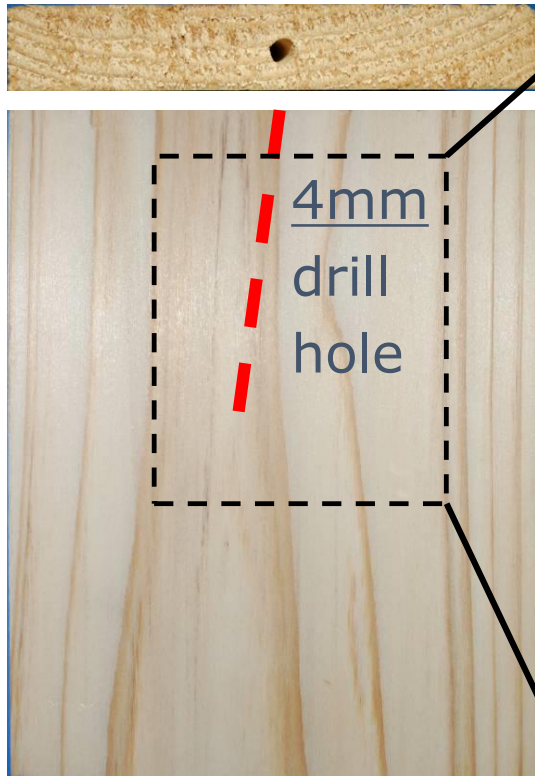
(a)



空洞欠陥の透過測定

・欠陥:ドリル穴

試料: 杉
厚さ: 12 mm



木材内部への水の浸潤—透過測定

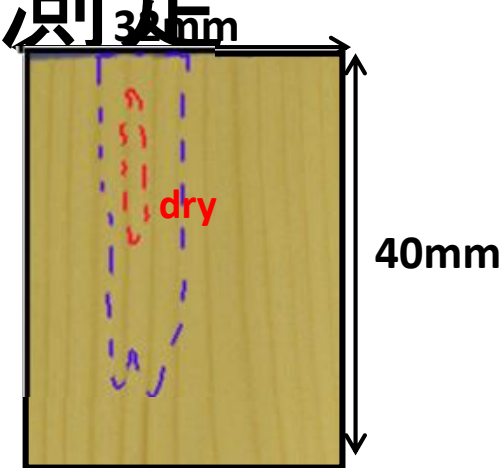
- ・欠陥: 過剰水分(浸潤測定)

試料に注射器で水を注入した後、
水分の広がりを透過測定で観察
する

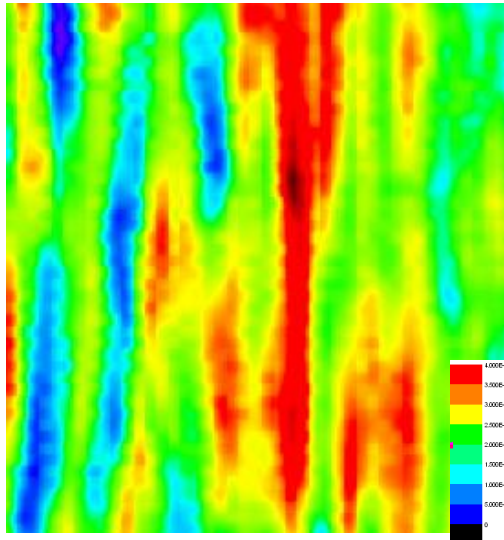


水も透過してしまうX線では困難

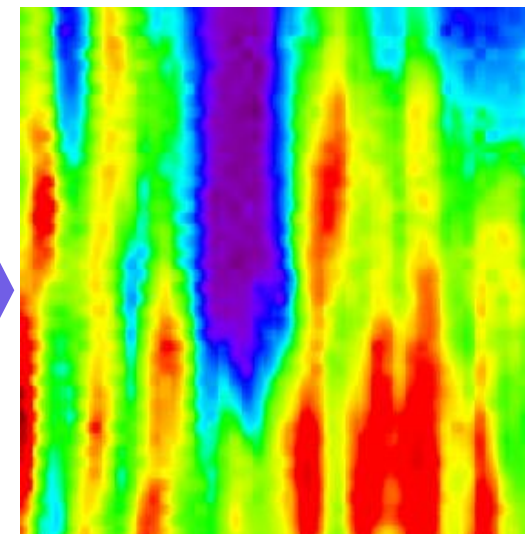
試料: トウヒ
厚さ: 14.2 mm



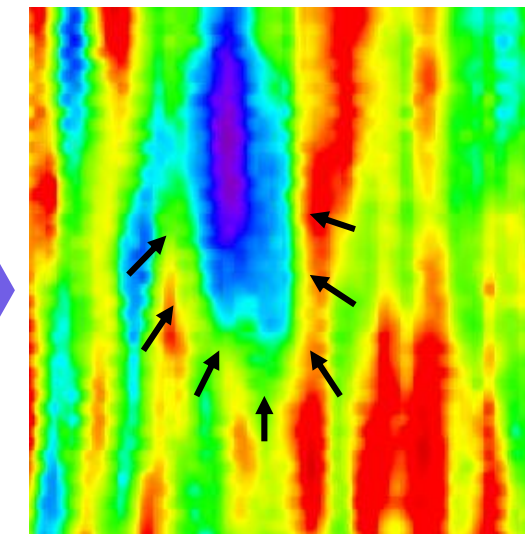
水注入前



水注入直後



乾燥後



木材内部への水の浸潤－反射測定

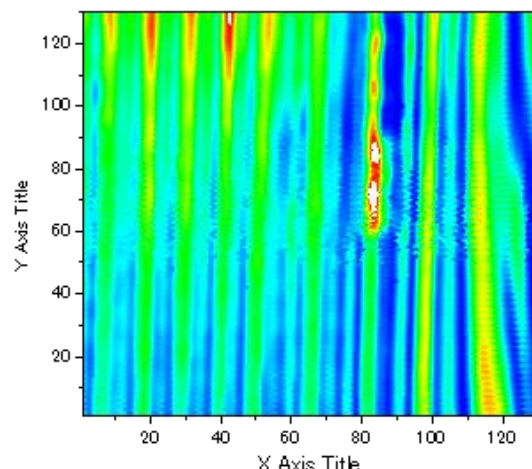
水注入前

試料: 杉
厚さ: 12 mm

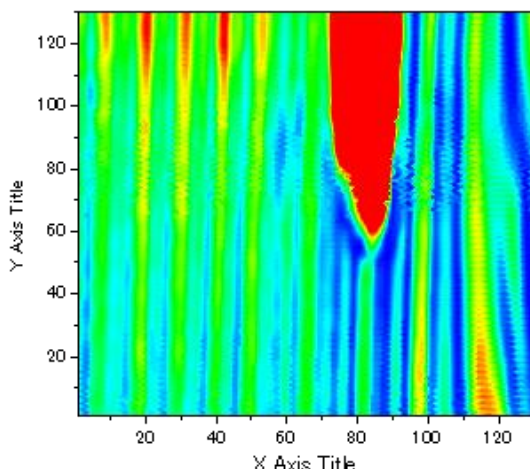
ドリル穴(5 mm径)に水を注入



水200 ml

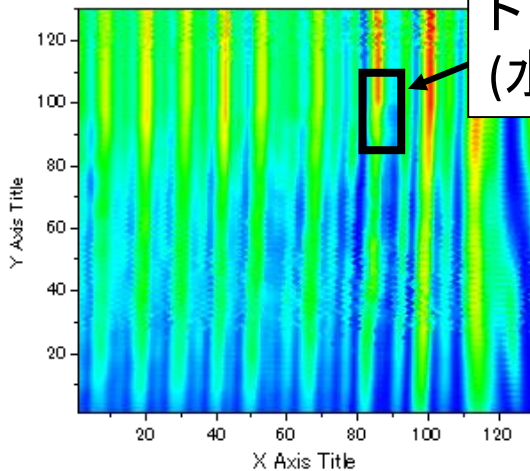


水400 ml

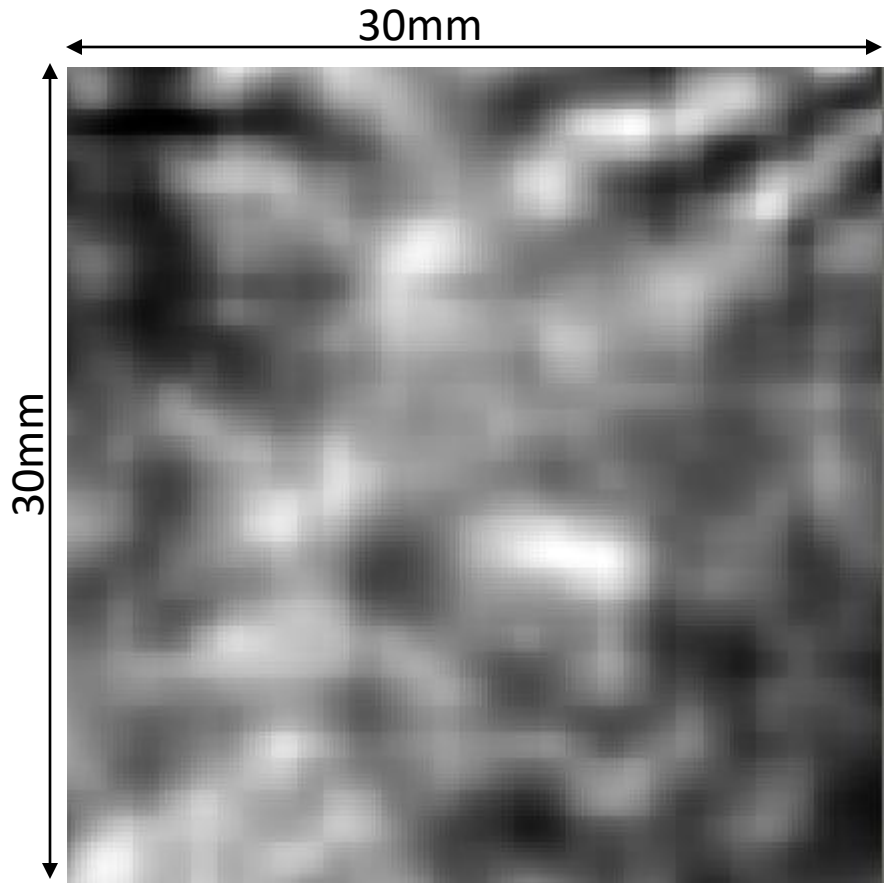


大反射強度
↑
↓
小

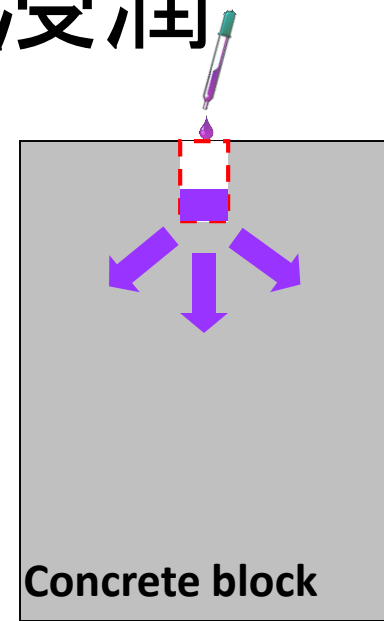
ドリル穴
(水注入領域)



コンクリート内部への水の浸潤

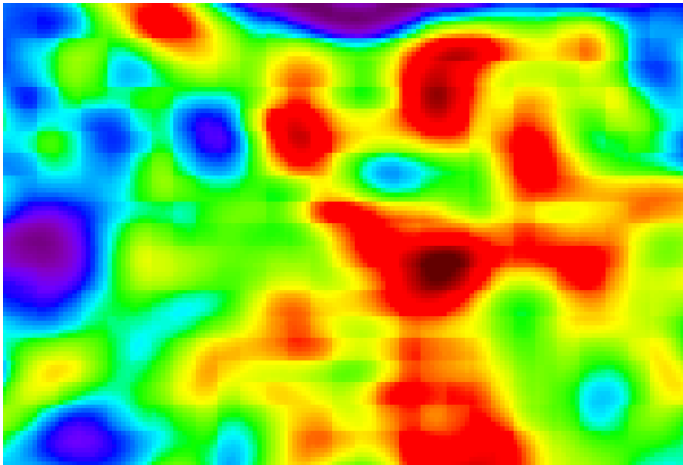


コンクリート(厚さ10mm)内部における
水の浸潤の様子(透過測定)

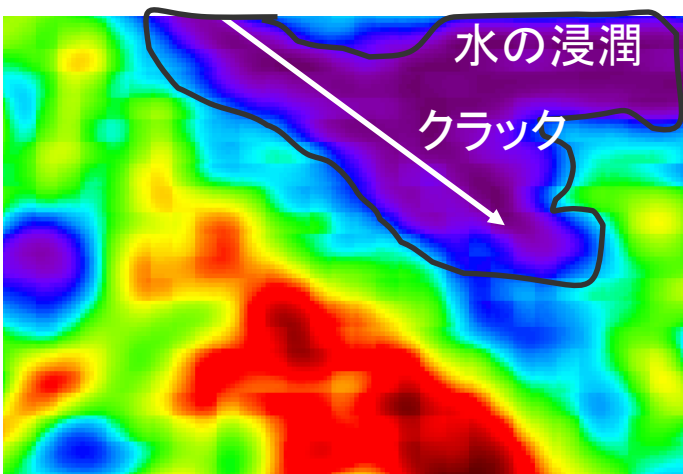


クラックの透過測定

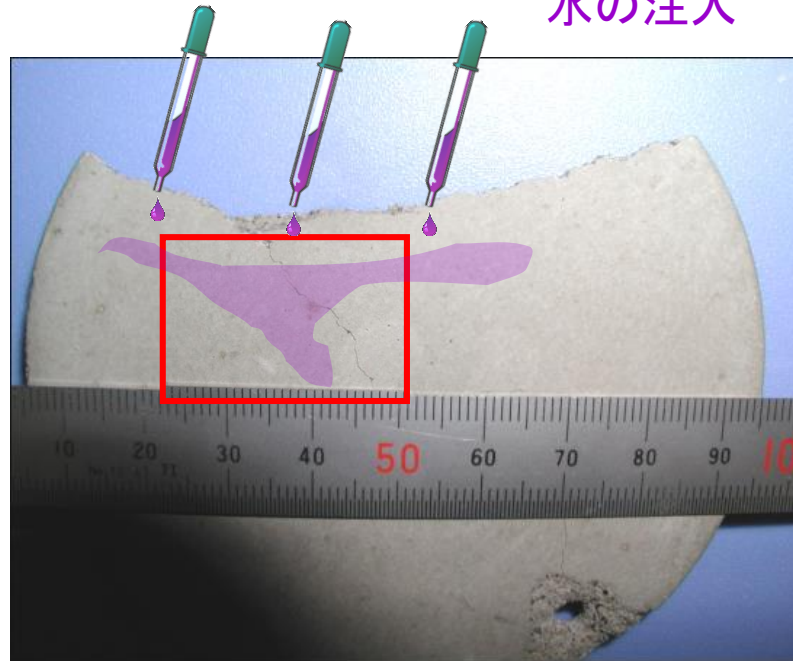
水注入前



水注入後



水の注入

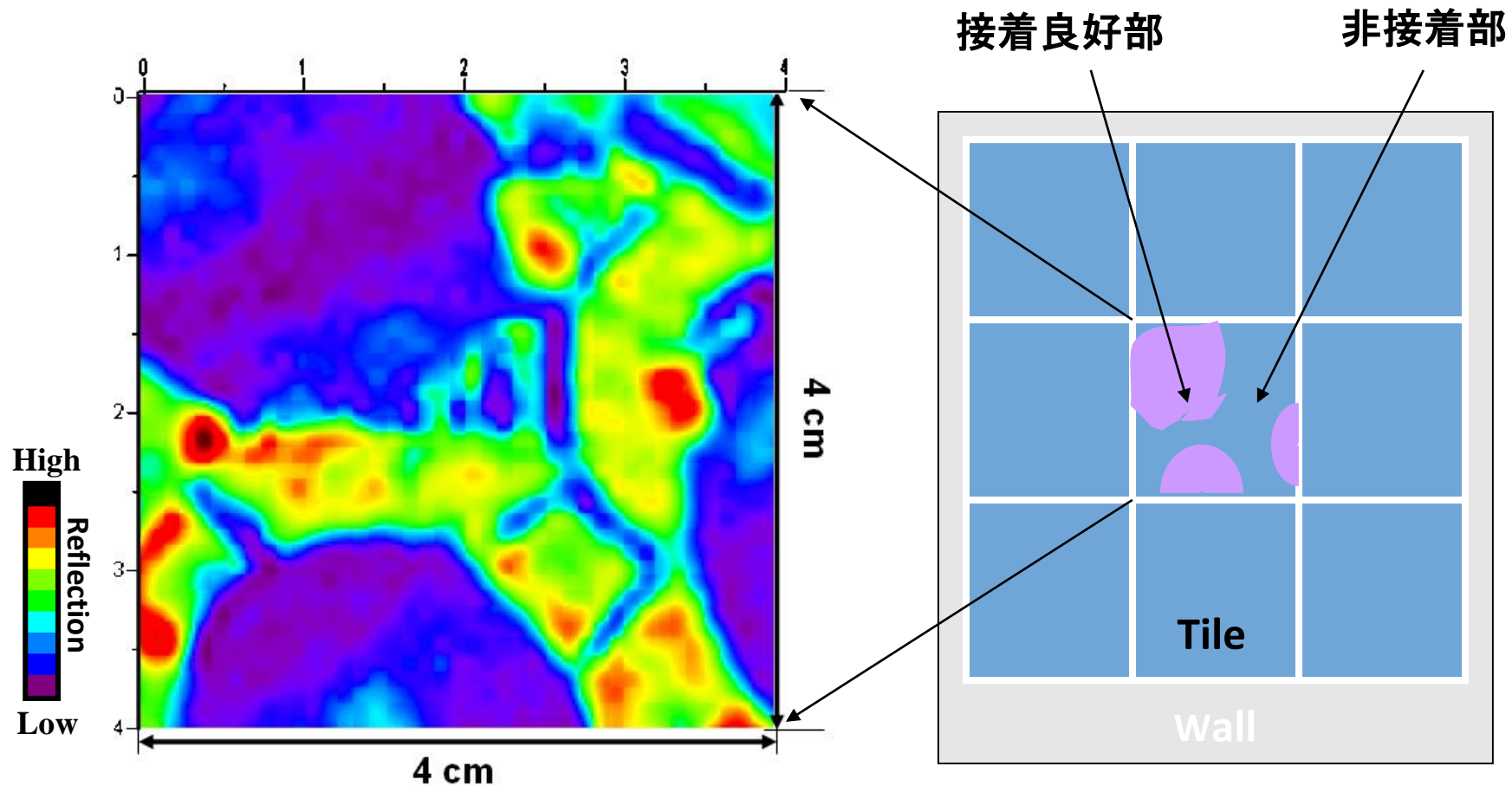


クラック周辺の水によるテラヘルツ波の吸収



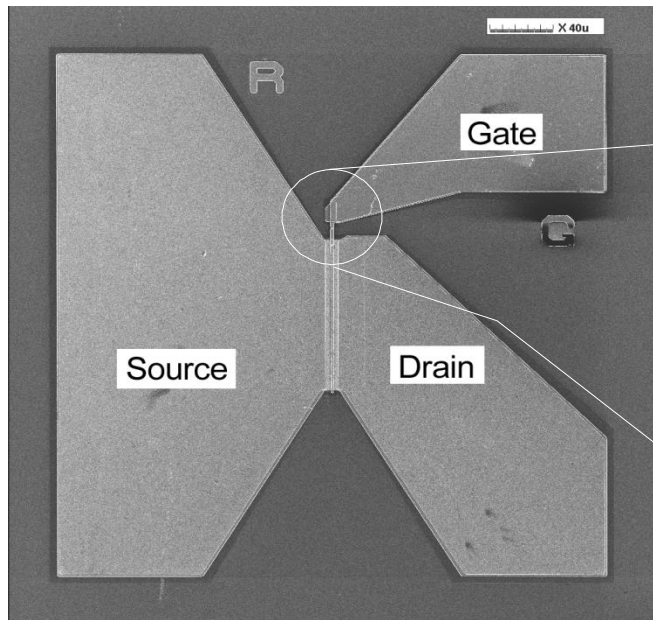
クラック検出の手がかり

セラミックタイルの接着不良欠陥

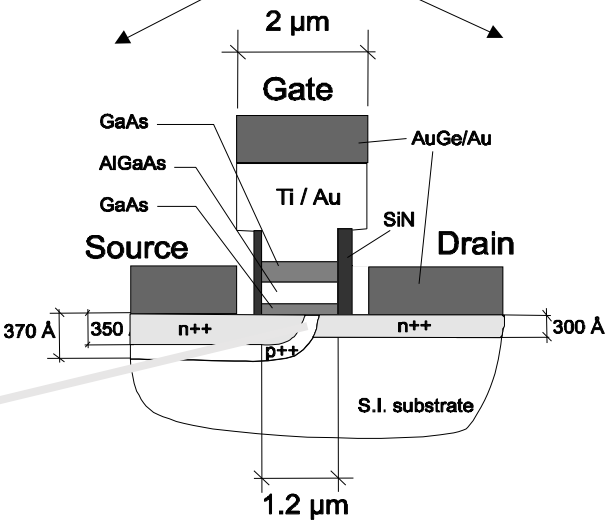
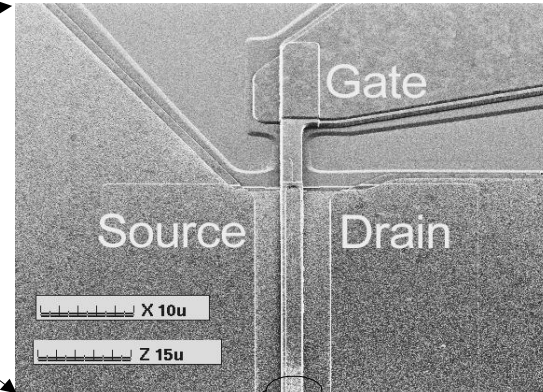


反射測定におけるセラミックタイル
のイメージング画像

Pattern layout of ISIT for DC evaluation

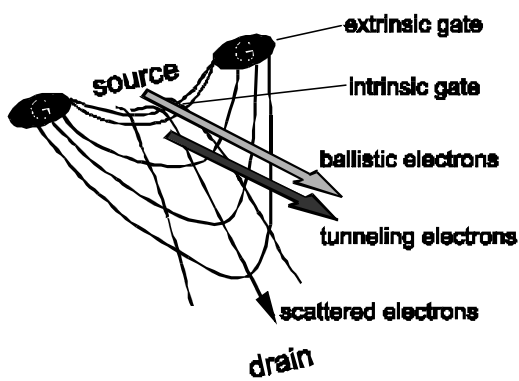


Implemented with molecular layer epitaxy



ソース・ドレン間距離
3.5nm (13原子層)

operation principle of ISIT

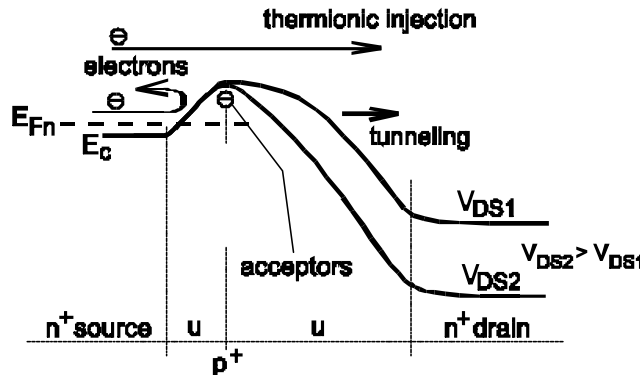


- induced potential barrier
- gate: homojunction or heterojunction or MIS
- potential barrier modulated with gate potential but also with drain potential

Ballistic electron transport

Theoretical operation frequency: up to 800GHz

Improved performance by tunnel conduction

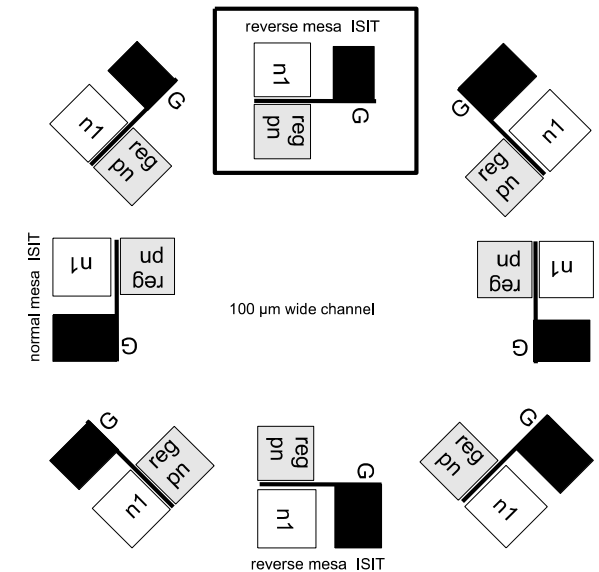
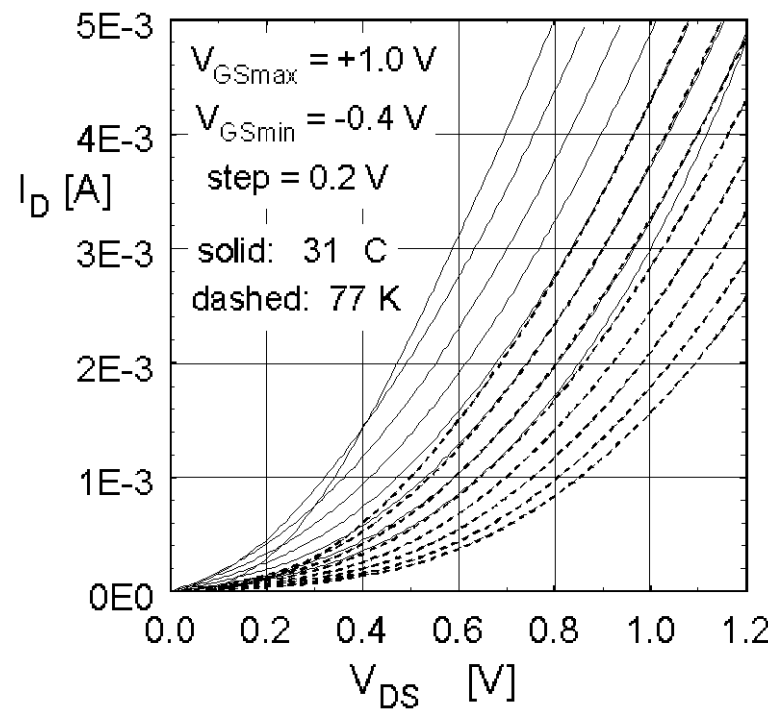


◊ISIT(Ideal Static Induction Transistor)
invented in 1979 by J.Nishizawa
(J. Nishizawa, Proc. 1979 IEEE Int. Conf.
Solid State Devices, 1979.) Washington DC

•ISIT DEVICE PERFORMANCE (S/D 10nm Tr.)

E/D(enhanement/depletion) mode operation by MIS gate

DC output characteristics of S/D **10nm** ISIT with regrown-AlGaAs MIS gate
operated with E/D mode $g_m > 300 \text{ mS/mm}$
 $\beta > 20$

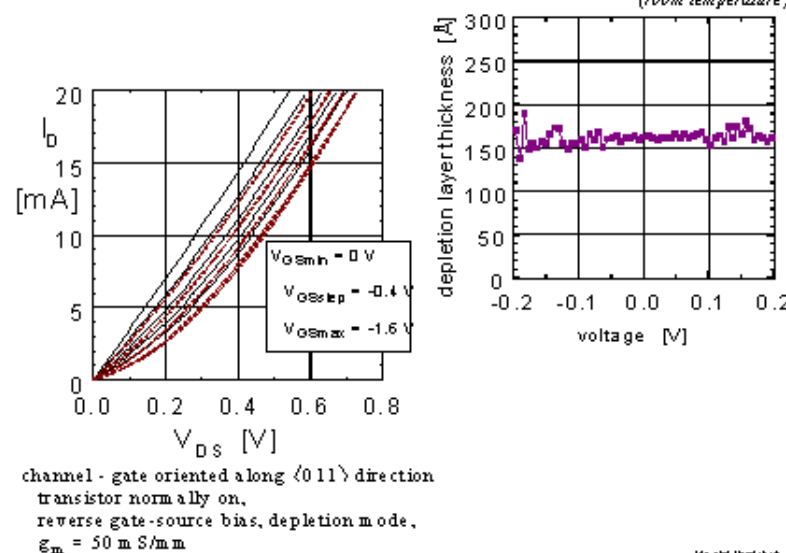
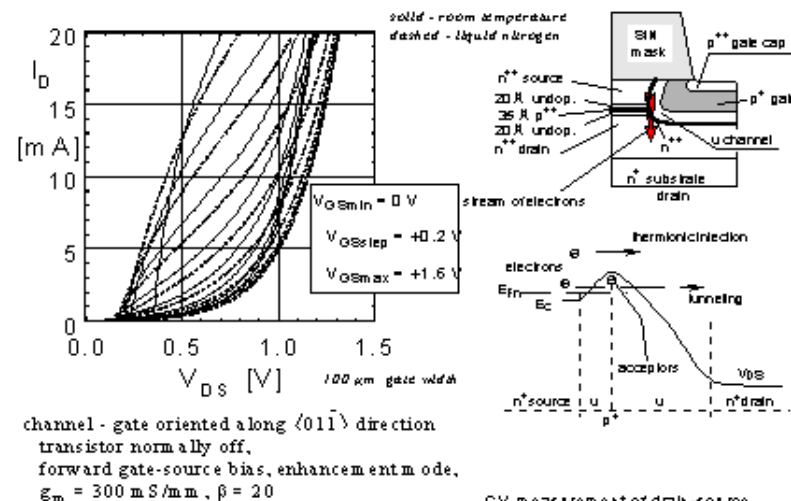


True S/D 10nm ?

Y.Oyama, P.Plotka and J.Nishizawa, Applied Surface Science, 82/83 (1994) 41-45.

P.Plotka, T.Kurabayashi, Y.Oyama and J.Nishizawa, Applied Surface Science, 82/83 (1994) 91-96

Output characteristics of 170 Å (80 Å) ISIT
intraband source-drain electron tunneling mode;



Quiz

Band gap of active region of LD is 1.0eV. Give the emission wave length in micron unit.

1 micron [mm] = 1×10^{-6} [m].

Where electron charge q is 1.602×10^{-19} [C], Plank constant h is 6.626×10^{-34} [J·s], light velocity in vacuum c is 3×10^8 [m/s].

半導体レーザの活性層が、禁制帯幅Egが1eVである材料で形成されている。レーザ発振される光の波長をミクロン単位で答えなさい。

但し、1eVは1個の電子が1ボルトの電位差で加速された時に、電子に与えられるエネルギーに相当し、電子の電荷量qは 1.602×10^{-19} [C]とする。またプランク定数hは 6.626×10^{-34} [J·s]で、真空中の光速cは 3×10^8 [m/s]である。

ここで、光量子仮説によれば、

$$E = h\nu$$

$$\lambda = \frac{c}{\nu}$$

で、 ν は光の振動数である。